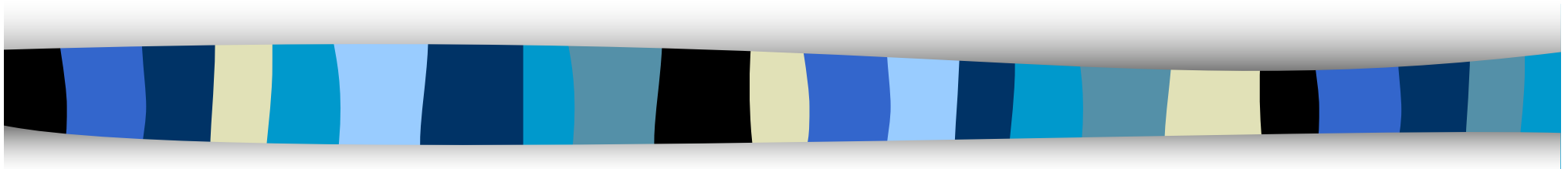


# *Ensemble methods:*

## *boosting, bagging, random forests*

...



Antoine Cornuéjols

*AgroParisTech*

- Trouver une meilleure solution  
en combinant des solutions « faibles »

Méthodes « d'ensemble »

# *Les questions*

1. Quels **agents** ?
2. Que doivent-ils **échanger entre eux** si processus itératif ?
3. Comment **combiner** leurs avis ?
4. Quelles **conditions** de **convergence** ?
5. Et si convergence, **vers quoi** ?

Ce n'est pas nouveau

# Motivation

## ■ « *The wisdom of crowd* »

[James Surowiecki, 2004]

- Estimation du **poids d'un panier** dans un marché  
787 participants



[Francis Galton<sup>1</sup>, 1906 (85 ans)]

<sup>1</sup> anthropologue, explorateur, géographe, inventeur, météorologue, proto-généticien, psychométricien et statisticien

# Motivation

## ■ « *The wisdom of crowd* »

[James Surowiecki, 2004]

- Estimation du **poids d'un panier** dans un marché

787 participants

- Le **meilleur** = plus d'un **centième** d'erreur
- **Moyenne** : moins d'un **millième** d'erreur

[Francis Galton<sup>1</sup>, 1906 (85 ans)]



<sup>1</sup> anthropologue, explorateur, géographe, inventeur, météorologue, proto-généticien, psychométricien et statisticien

# *Pourquoi / comment ça marche*

## ■ « Experts faibles »

Estimations « bruitées »

- Non biaisées
- Symétriques
- Indépendantes



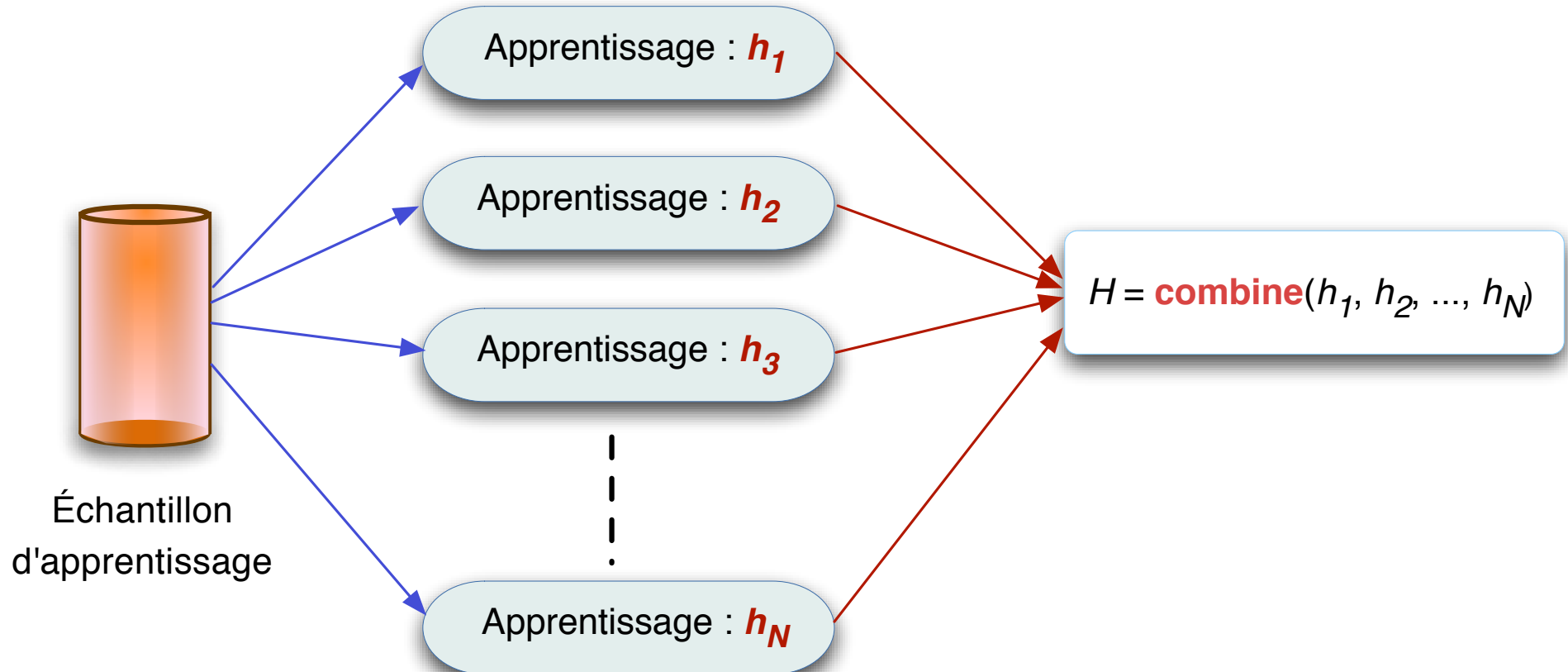
**Combinaison simple :**  
**la moyenne**

## *Plan*

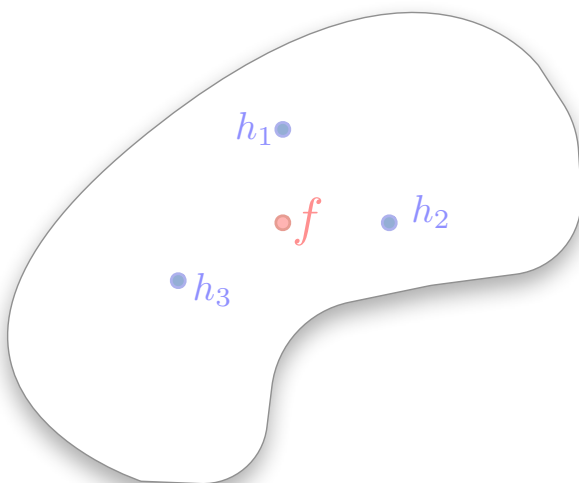
1. Méthodes d'ensemble
2. Le boosting
3. Le boosting : pourquoi ça marche
4. Le bagging
5. Les forêts aléatoires
6. XGBoost : le boosting d'arbres
7. Vers d'autre méthodes d'ensemble ?

# Ensemble methods

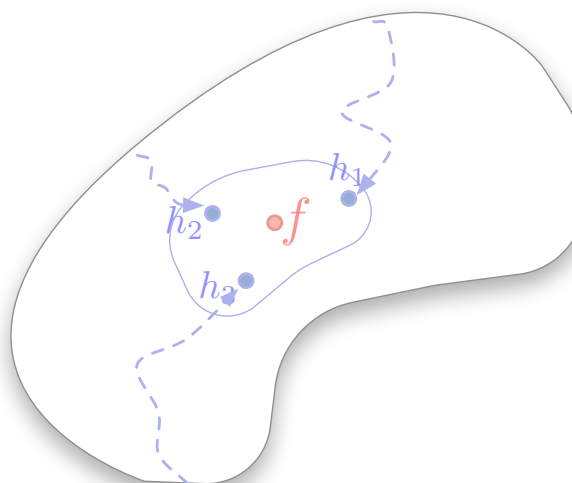
# Schéma général : *apprentissage*



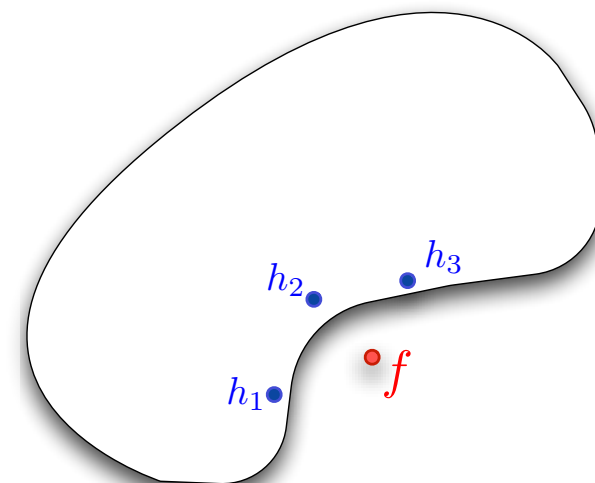
# Justifications intuitives



Justification  
statistique



Justification  
computationnelle



Justification  
représentationnelle

- Dietterich T. (2000) « Ensemble Methods in Machine Learning ». Proc. 1st Int. Workshop on Multiple Classifier Systems, Sardinia, Italy, 2000.

# Succès applicatifs

## ■ KDD-Cup

- *Network intrusion detection (1999) ; molecular bioactivity & protein locale prediction (2001) ; (...) pulmonary embolisme detection (2006) ; customer relationship management (2009) ; educational data mining (2010) ; music recommandation (2011) ; ...*
- Tous les 1<sup>er</sup> prix et 2<sup>ème</sup> prix pour les **méthodes d'ensemble** (2009-2011 - ???)

## ■ Netflix prize

- *Improve accuracy about how much someone is going to enjoy a movie based on their preference*
- 1 000 000 \$ for a new algorithm improving on Netflix'one by more than 10%
- Winner in 2009 for an **ensemble method**

## *Plan*

1. Méthodes d'ensemble
2. Le boosting
3. Le boosting : pourquoi ça marche
4. Le bagging
5. Les forêts aléatoires
6. XGBoost : le boosting d'arbres
7. Vers d'autre méthodes d'ensemble ?

# Boosting

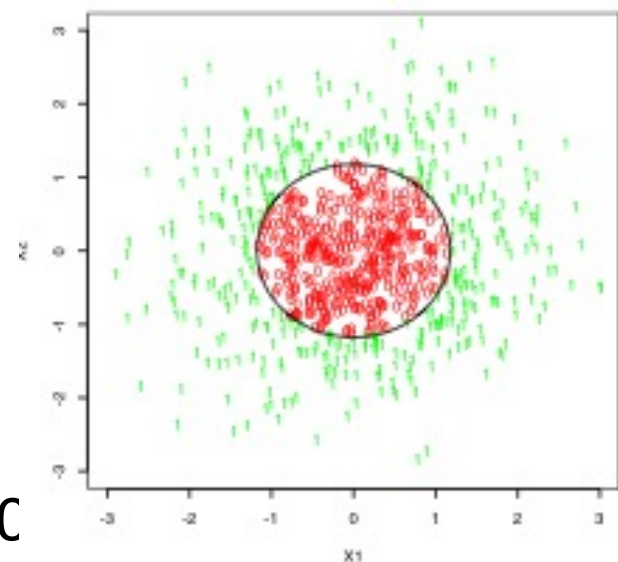
## Illustration

- Soit  $X$  un espace d'entrée à **10 dimensions**
- Les attributs sont indépendants et de distribution gaussienne
- Le **concept cible** est défini par :

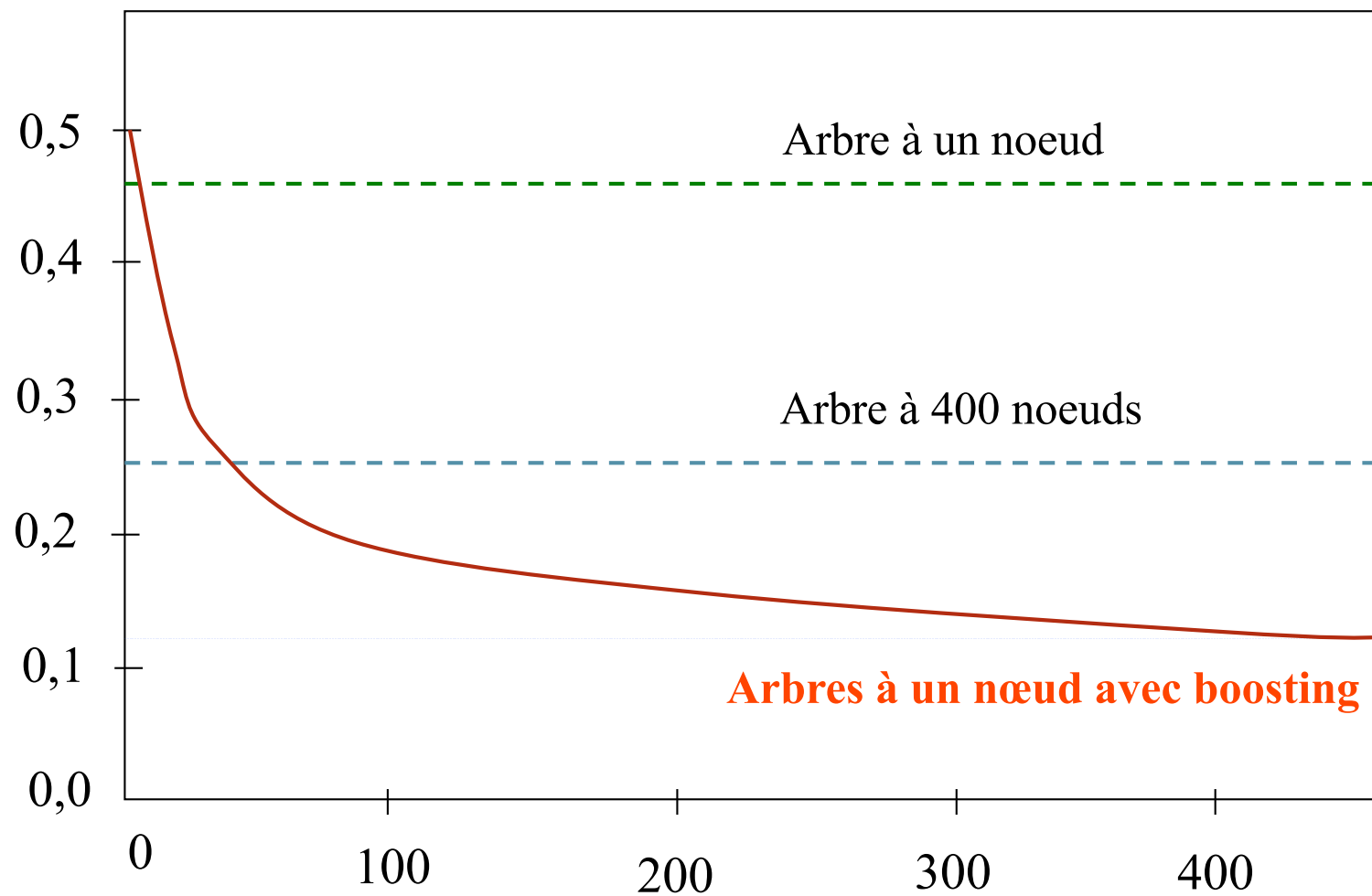
$$u = \begin{cases} 1 & \text{si } \sum_{j=1,10} x_j^2 > \chi^2_{10}(0,5) \\ -1 & \text{sinon} \end{cases}$$

avec :  $\chi^2_{10}(0,5) = 9,34$

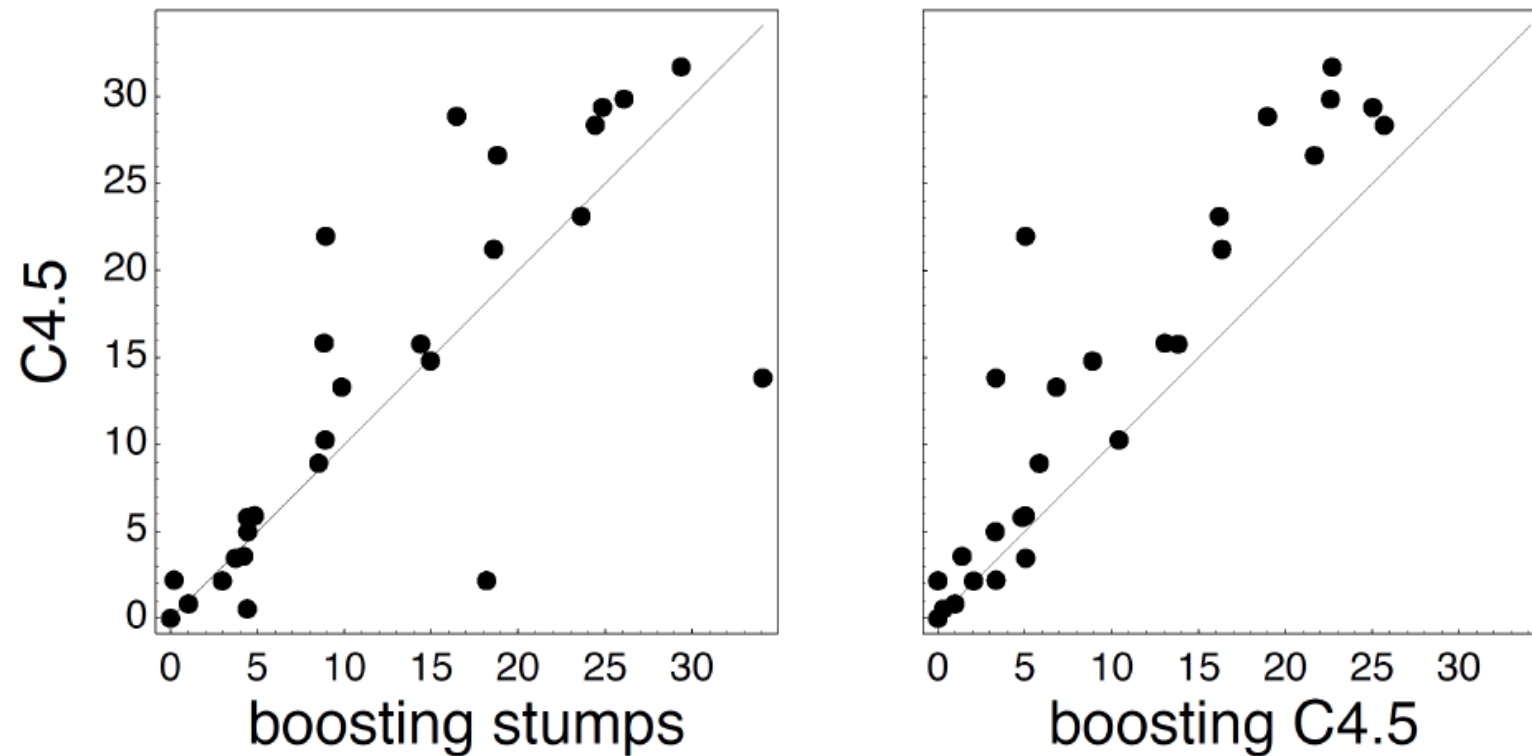
- 2000 *exemples d'apprentissage* (1000+;1C)
- 10000 *exemples de test*
- Apprentissage d'arbres de décision



## *Illustration*

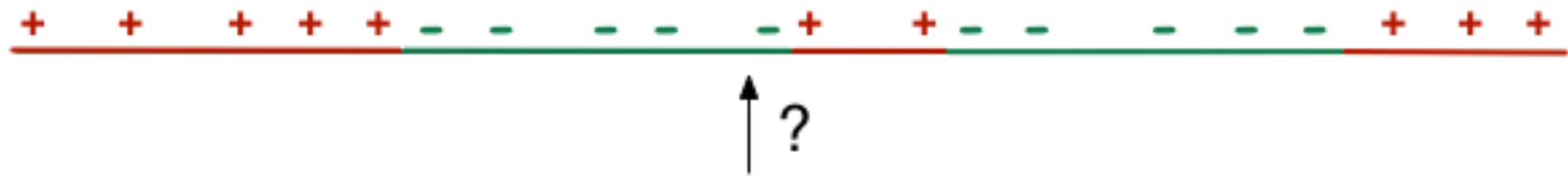


## *Performances du boosting*



Test error rate on 27 benchmark problems  
x-axis: boosting; y-axis: base-line (C4.5)

## *Exemple simple*



- Quel est le meilleur séparateur linéaire ?

## *Exemple simple*



- Taux d'erreur =  $5/20 = 0.25$

## Exemple simple



- Taux d'erreur ( $h_1$ ) =  $5/20 = 0.25$

*Et si je pouvais combiner avec un autre séparateur linéaire ?*

*Ou même plusieurs autres !*

## Exemple simple

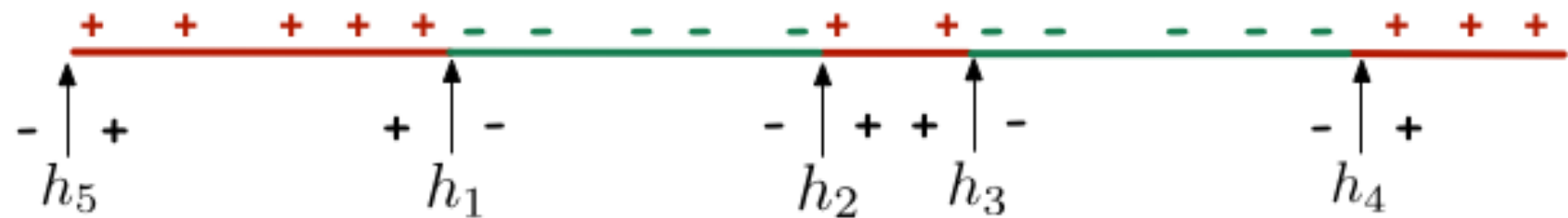


*Et si je pouvais combiner avec un autre séparateur linéaire ? Ou même plusieurs autres !*

Par exemple en utilisant un **vote pondéré** :

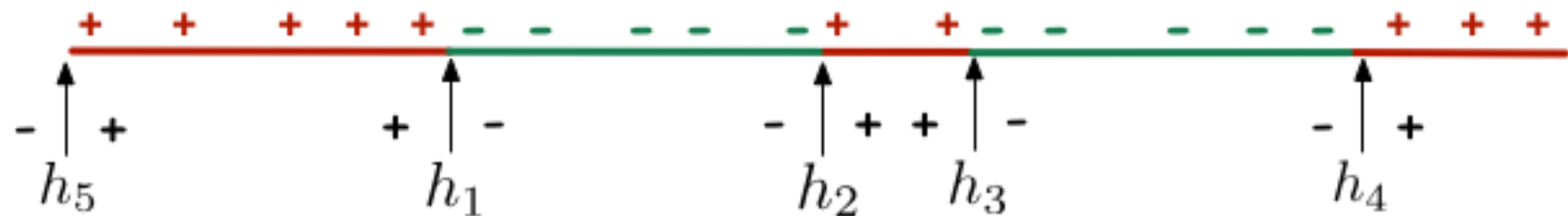
$$H(\mathbf{x}) = \text{sign} \left\{ \sum_{i=1}^l \alpha_i h_i(\mathbf{x}) \right\}$$

## Exemple simple



$$H(x) = \text{sign}\{ 0.549 h_1(x) + 0.347 h_2(x) + \\ 0.310 h_3(x) + 0.406 h_4(x) + 0.503 h_5(x) \}$$

## Exemple simple



$$H(x) = \text{sign}\{ 0.549 h_1(x) + 0.347 h_2(x) + 0.310 h_3(x) + 0.406 h_4(x) \\ + 0.503 h_5(x) \}$$

- Comment arriver à ce genre de combinaison ?

Algorithme du boosting

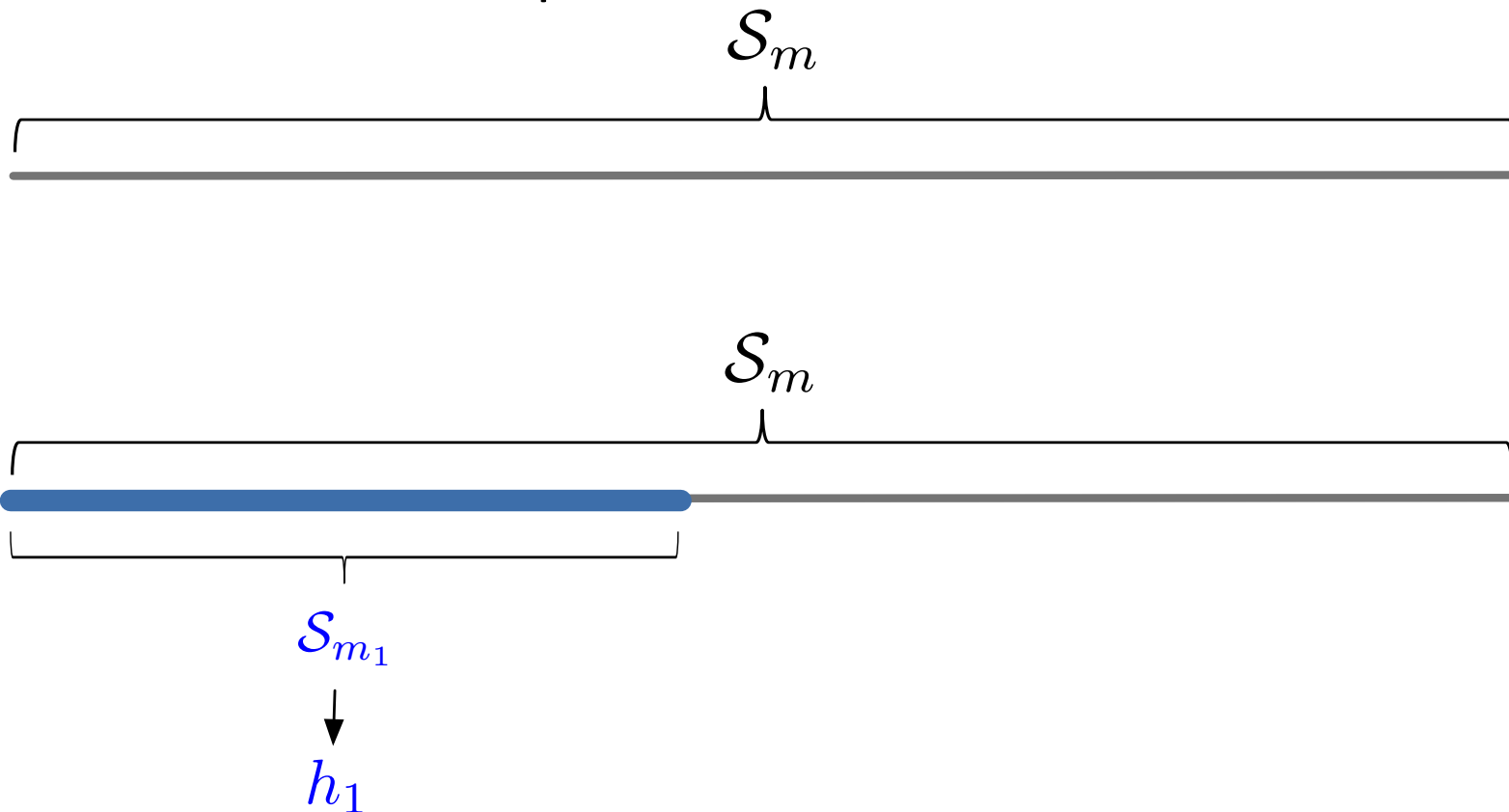
# The boosting algorithm

# *Une question théorique*

- Apprentissage « **fort** » (PAC learning)
  - Une classe de fonctions  $\mathcal{F}$  est apprenable (au sens **fort**) si il existe un algorithme d'apprentissage  $\mathcal{A}$  qui pour toute distribution  $\mathcal{D}_X$  sur  $X$ , et pour toute fonction  $f$  dans  $\mathcal{F}$  est tel que :
$$\forall \varepsilon, \delta : \exists m(\varepsilon, \delta) \text{ st. } \text{Prob}[R(h_{\mathcal{S}}) > \varepsilon] \leq \delta$$
- Apprentissage «  $\gamma$  **faible** »
  - Une classe de fonctions  $\mathcal{F}$  est apprenable (au sens **faible**) si, pour  $\gamma > 0$ , il existe un algorithme d'apprentissage  $\mathcal{A}$  qui pour toute distribution  $\mathcal{D}_X$  sur  $X$ , et pour toute fonction  $f$  dans  $\mathcal{F}$  est tel que :
$$\forall \delta : \exists m(\delta) \text{ st. } \text{Prob}[R(h_{\mathcal{S}}) > 1/2 - \gamma] \leq \delta$$
- Sont-ils de nature différente ?

# *Comment engendrer les apprenants*

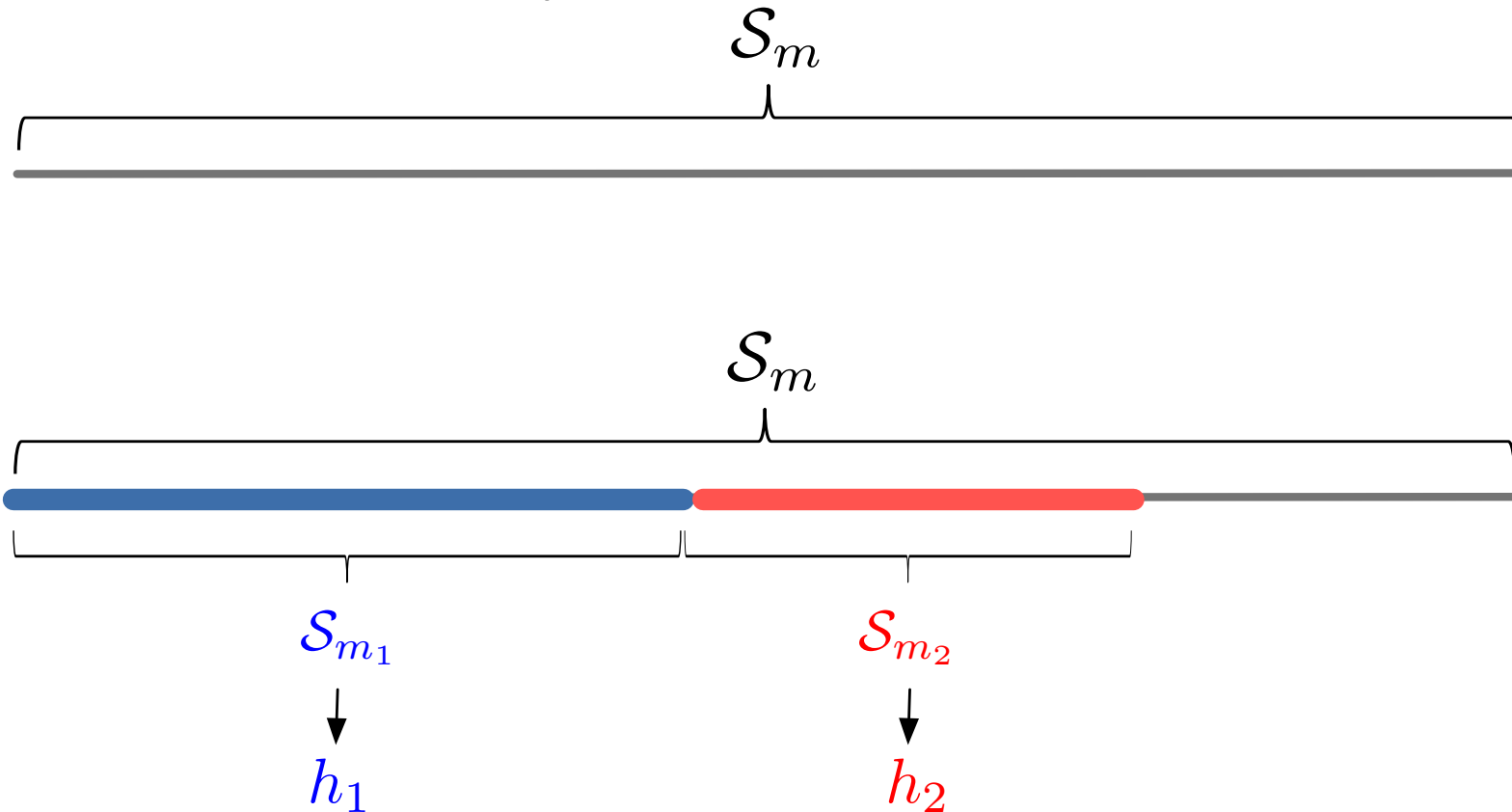
## ■ Une recette historique



SCHAPIRE, Robert E. The strength of weak learnability. *Machine learning*, 1990, vol. 5, p. 197-227.

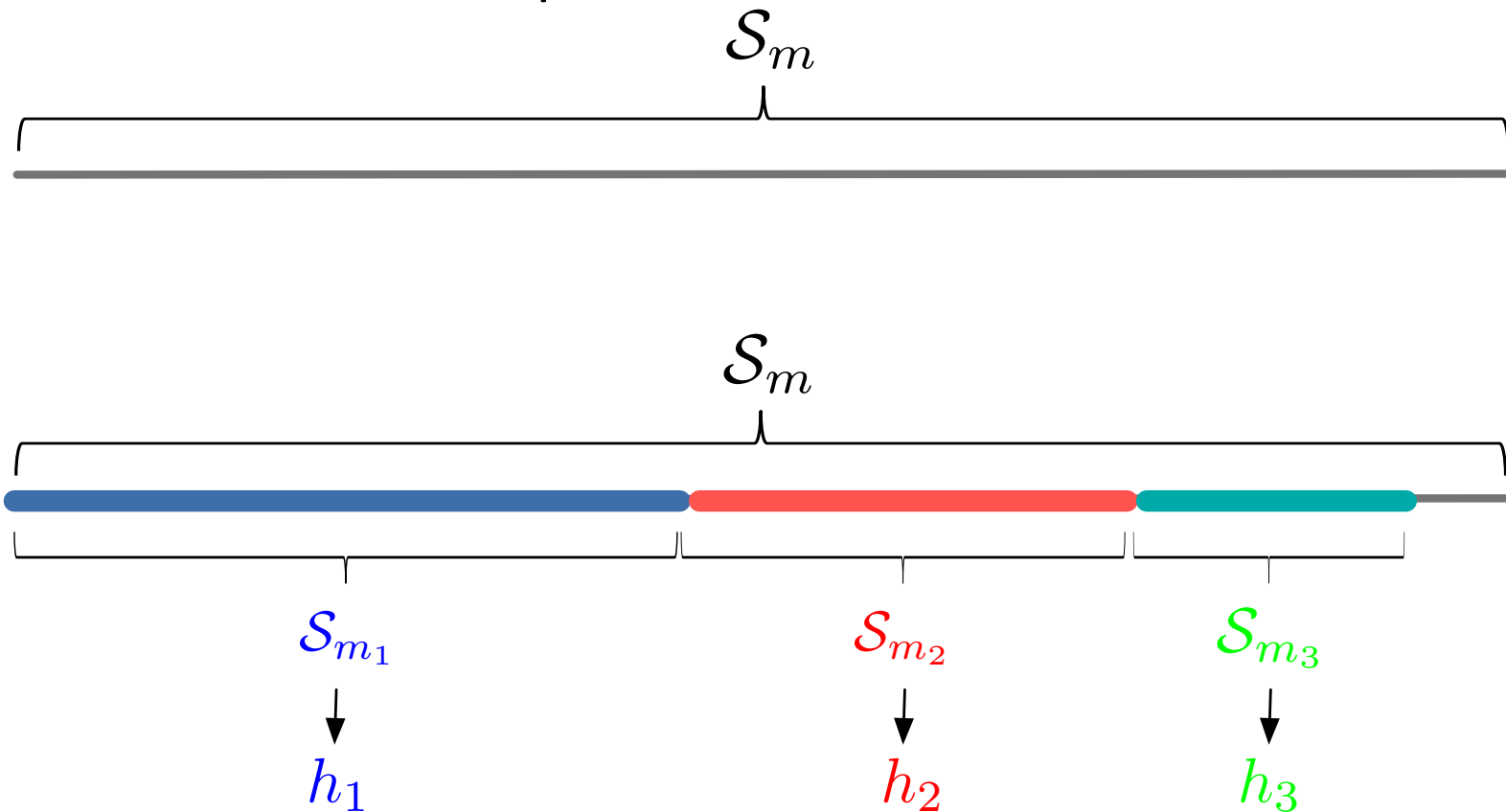
# *Comment engendrer les apprenants*

## ■ Une recette historique



# Comment engendrer les apprenants

## ■ Une recette historique



$$H(\mathbf{x}) = \text{sign}\left( h_1(\mathbf{x}) + h_2(\mathbf{x}) + h_3(\mathbf{x}) \right)$$

## *Questions*

- Comment engendrer des **apprenants faibles décorrélés** ?
- Comment **combiner** leurs prédictions ?

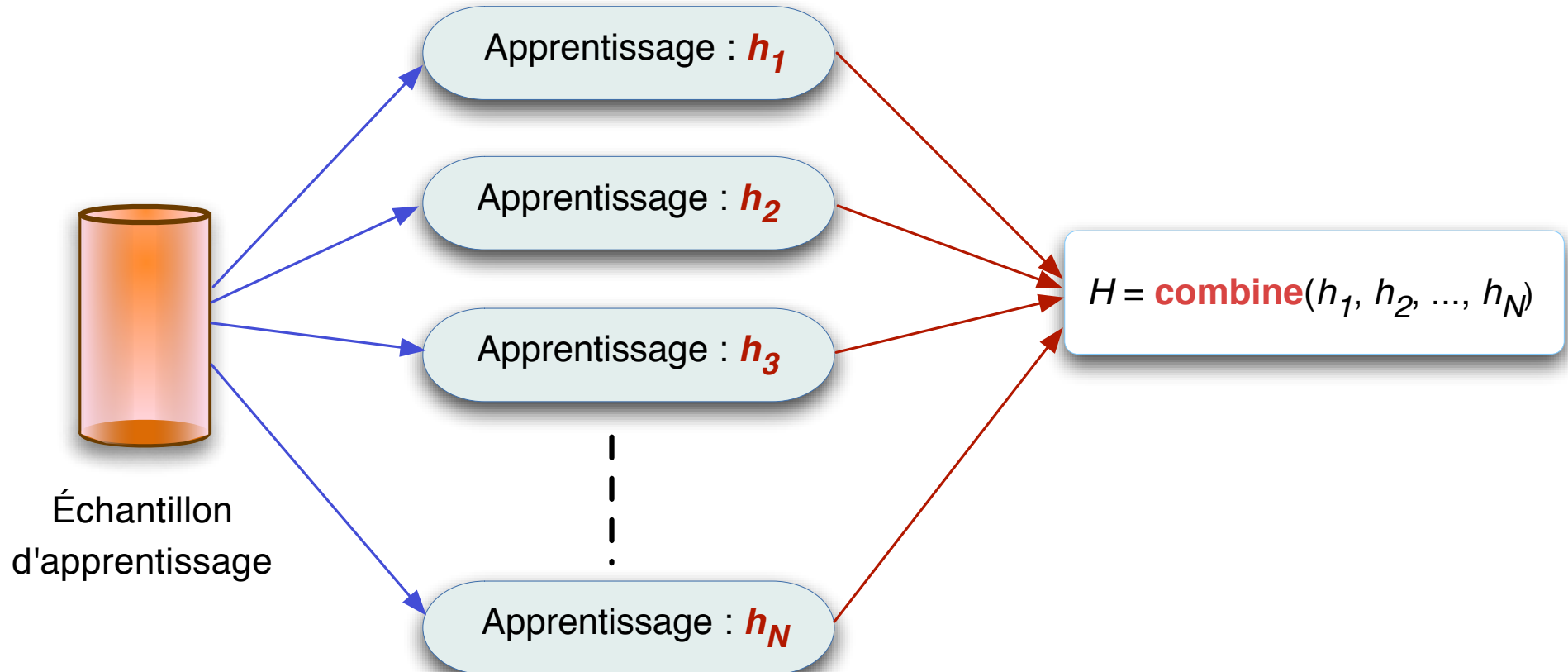
## *Comment engendrer les apprenants (suite)*

- Modifier l'échantillon d'apprentissage à chaque étape
  - *En diminuant l'importance des exemples **bien** classés*
  - *En augmentant ----- **mal** -----*
  - De combien ?

# *Boosting*

- **boosting** = méthode générale pour convertir des règles de prédiction peu performantes en une règle de prédiction (très) performante
- Plus précisément :
  - Étant donné un algorithme d'apprentissage “faible” qui peut toujours retourner une hypothèse de taux d'erreur  $\leq 1/2 - \gamma$
  - Un algorithme de boosting peut construire (de manière prouvée) une règle de décision (hypothèse) de taux d'erreur  $\leq \varepsilon$

# Schéma général : *apprentissage*



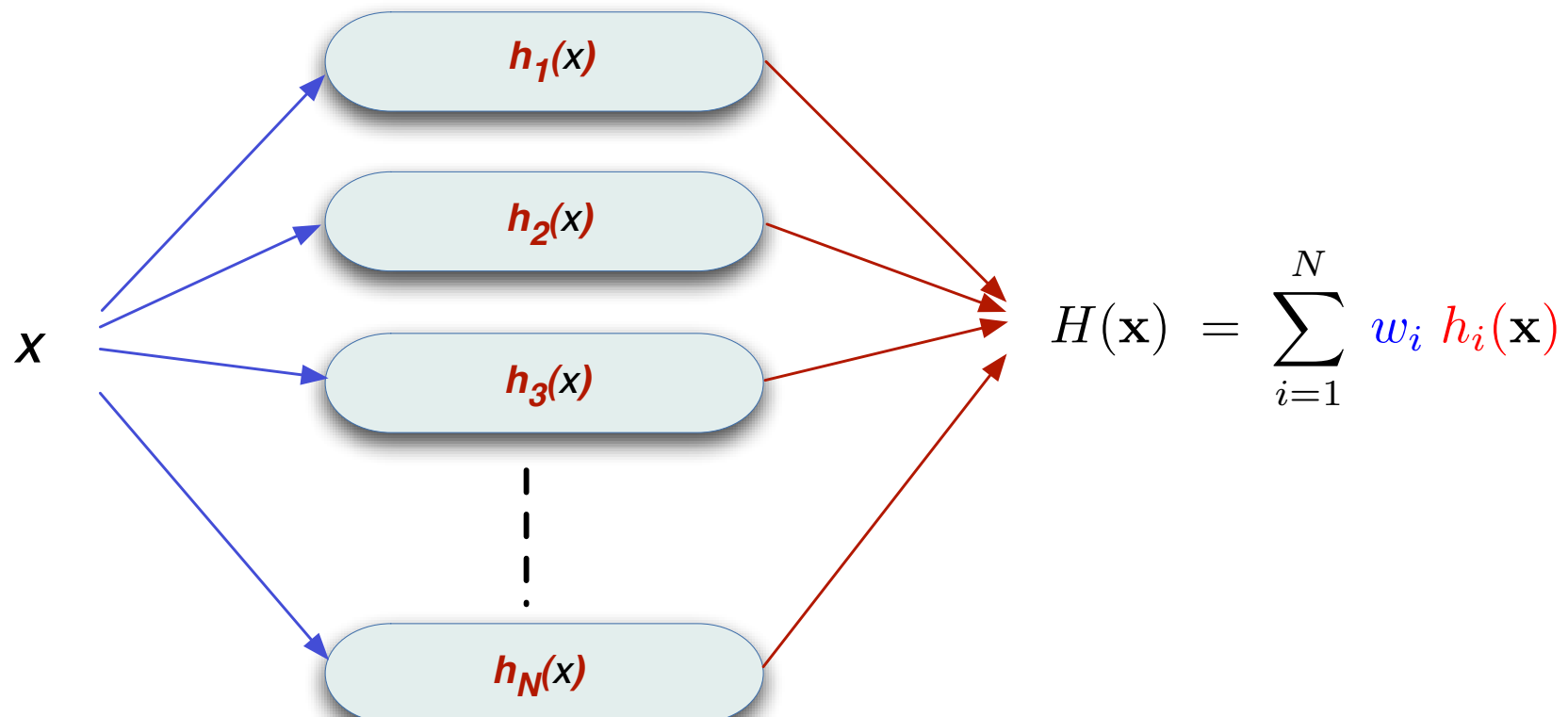
# Questions

- Comment choisir les courses à chaque étape?
  - ↳ Se concentrer sur les courses les plus “difficiles”  
(celles sur lesquelles les heuristiques précédentes sont les moins performantes)
- Comment combiner les heuristiques (règles de prédiction) en une seule règle de prédiction ?
  - ↳ Prendre une vote (pondéré) majoritaire de ces règles

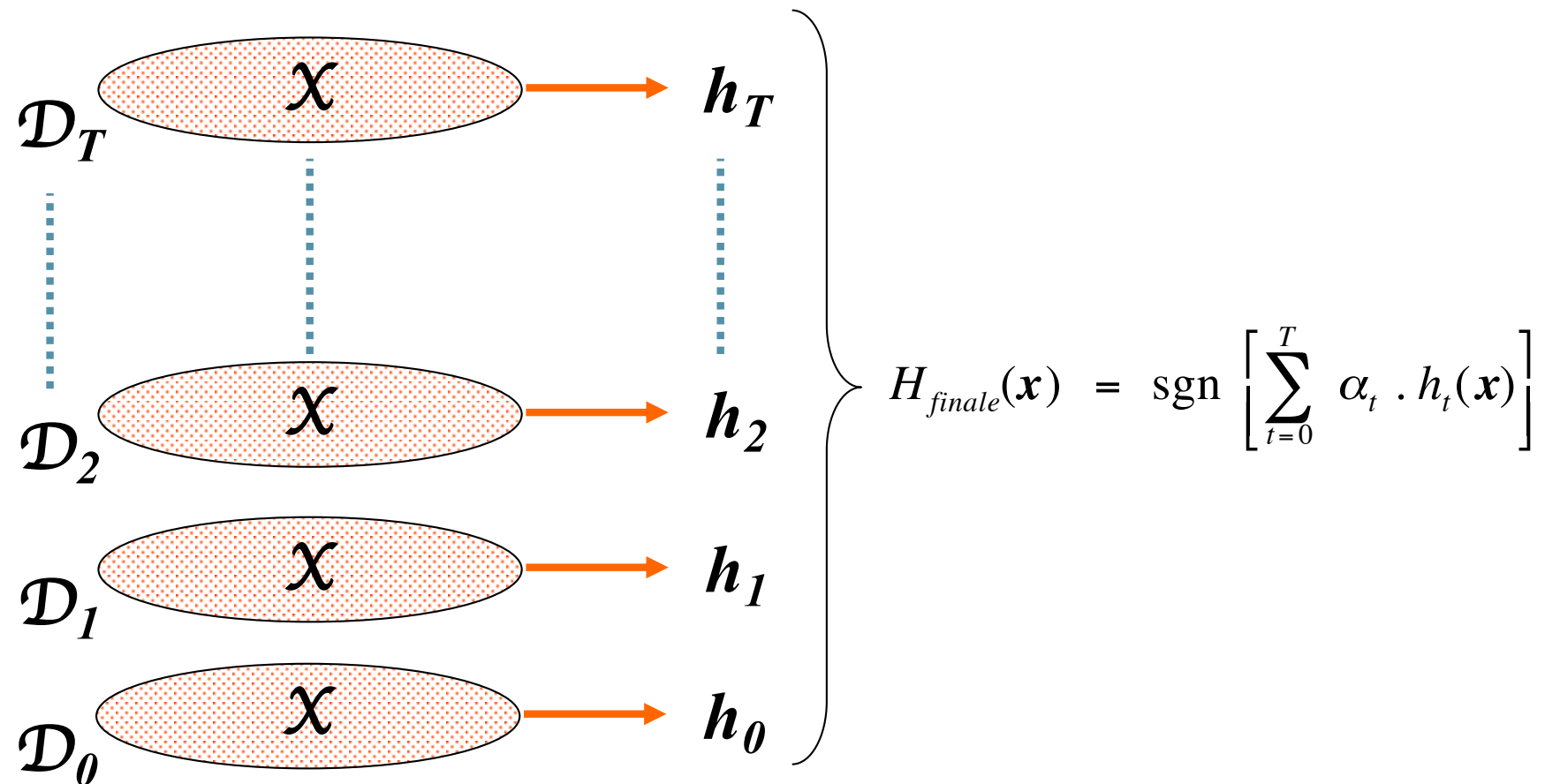
## Boosting : vue formelle

- Étant donné l' échantillon d' apprentissage  $S = \{(x_1, y_1), \dots, (x_m, y_m)\}$
- $y_i \in \{-1, +1\}$  étiquette de l' exemple  $x_i \in S$
- Pour  $t = 1, \dots, T$ :
  - Construire la distribution  $D_t$  sur  $\{1, \dots, m\}$
  - Trouver l' hypothèse faible ("heuristique")
$$h_t : S \rightarrow \{-1, +1\}$$
avec erreur petite  $\varepsilon_t$  sur  $D_t$ :
$$\varepsilon_t = \Pr_{D_t} [h_t(x_i) \neq y_i]$$
- Retourner l' hypothèse finale  $h_{\text{final}}$

## Schéma général : *prédiction*



## *Le principe général*



- Comment passer de  $\mathcal{D}_t$  à  $\mathcal{D}_{t+1}$  ?
- Comment calculer la pondération  $\alpha_t$  ?



# AdaBoost [Freund & Schapire '97]

- construire  $D_t$ :

$$D_1(i) = \frac{1}{m}$$

Étant donnée  $D_t$  et  $h_t$ :

$$\begin{aligned} D_{t+1} &= \frac{D_t}{Z_t} \cdot \begin{cases} e^{-\alpha_t} & \text{if } y_i = h_t(x_i) \\ e^{\alpha_t} & \text{if } y_i \neq h_t(x_i) \end{cases} \\ &= \frac{D_t}{Z_t} \cdot \exp(-\alpha_t \cdot y_i \cdot h_t(x_i)) \end{aligned}$$

où:  $Z_t$  = constante de normalisation

$$\alpha_t = \frac{1}{2} \ln \left( \frac{1 - \varepsilon_t}{\varepsilon_t} \right) > 0$$

- Hypothèse finale :

$$H_{\text{final}}(x) = \operatorname{sgn} \left( \sum_t \alpha_t h_t(x) \right)$$

## *AdaBoost en plus gros*

$$\alpha_t = \frac{1}{2} \ln \left( \frac{1 - \varepsilon_t}{\varepsilon_t} \right) > 0$$

$$D_{t+1} = \frac{D_t}{Z_t} \cdot \begin{cases} e^{-\alpha_t} & \text{if } y_i = h_t(x_i) \\ e^{\alpha_t} & \text{if } y_i \neq h_t(x_i) \end{cases}$$

$$H_{\text{final}}(x) = \text{sgn} \left( \sum_t \alpha_t h_t(x) \right)$$

## Exemple simple



- Taux d'erreur =  $5/20 = 0.25$

$$\alpha_i = \frac{1}{2} \ln \frac{1 - \varepsilon}{\varepsilon} = \frac{1}{2} \ln \frac{0.75}{0.25} = 0.549$$

## Exemple simple

- Nouvelle pondération des exemples d'apprentissage



- Exemples bien classés

$$p_b(x) = \frac{e^{-\alpha}}{Z} = \frac{e^{-0.549}}{Z} = \frac{0.577}{Z}$$

- Exemples mal classés

$$p_m(x) = \frac{e^{\alpha}}{Z} = \frac{e^{0.549}}{Z} = \frac{1.732}{Z}$$

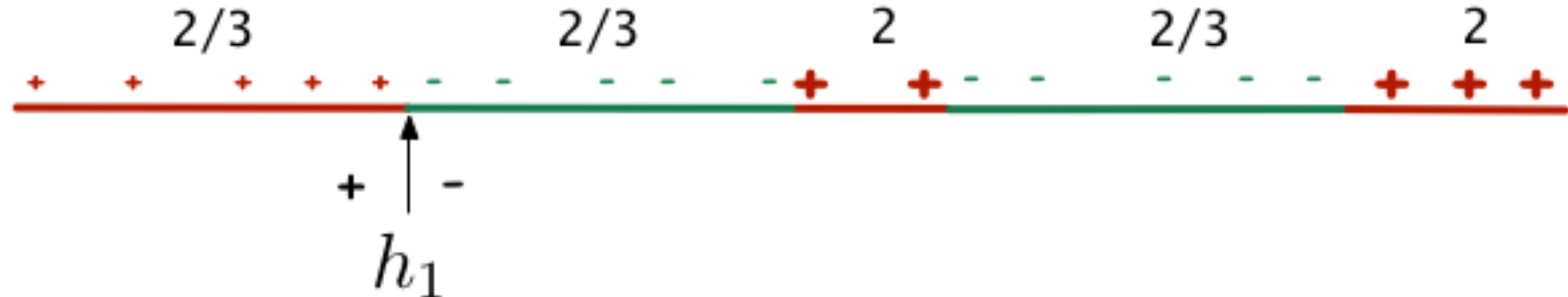
$$Z = \frac{(15 \times 0.577) + (5 \times 1.732)}{20} = \frac{8.660 + 8.660}{20} = \frac{17.32}{20} = 0.866$$

$$p_b(x) = 0.666 = 2/3$$

$$p_m(x) = 2$$

## Exemple simple

- Nouvelle pondération des exemples d'apprentissage



- Exemples bien classés

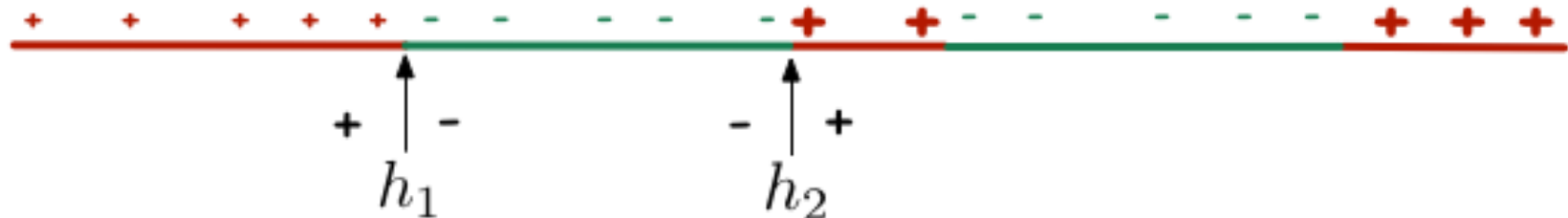
$$p_b(x) = \frac{1}{2(1 - \varepsilon)} = \frac{1}{2 \times 0.75} = \frac{1}{1.5} = \frac{2}{3}$$

- Exemples mal classés

$$p_m(x) = \frac{1}{2\varepsilon} = \frac{1}{2 \times 0.25} = \frac{1}{0.5} = 2$$

$$Z = 2 \varepsilon^{1/2} (1 - \varepsilon)^{1/2}$$

## Exemple simple



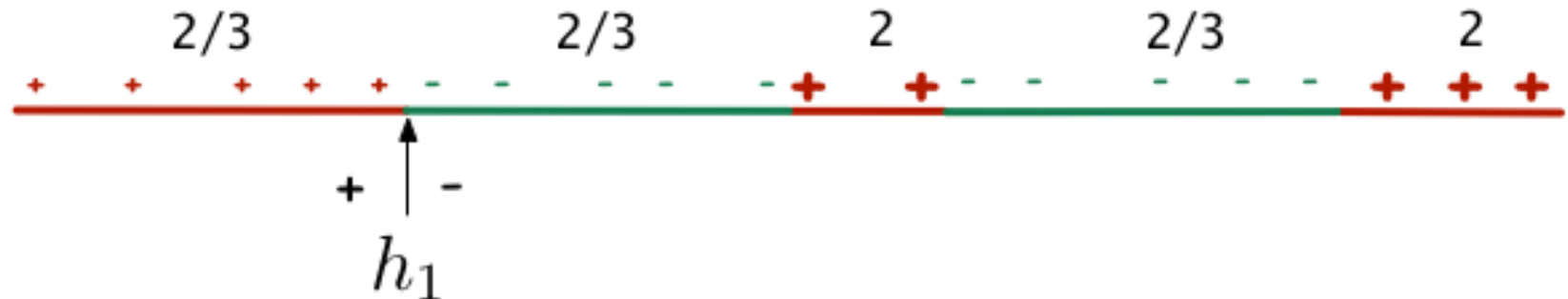
- Taux d'erreur :  $\varepsilon_2 = \frac{10 \times 2/3}{20} = \frac{1}{3}$

$$\alpha_2 = \frac{1}{2} \ln \frac{1 - \varepsilon_2}{\varepsilon_2} = \frac{1}{2} \ln \frac{2/3}{1/3} = 0.347$$

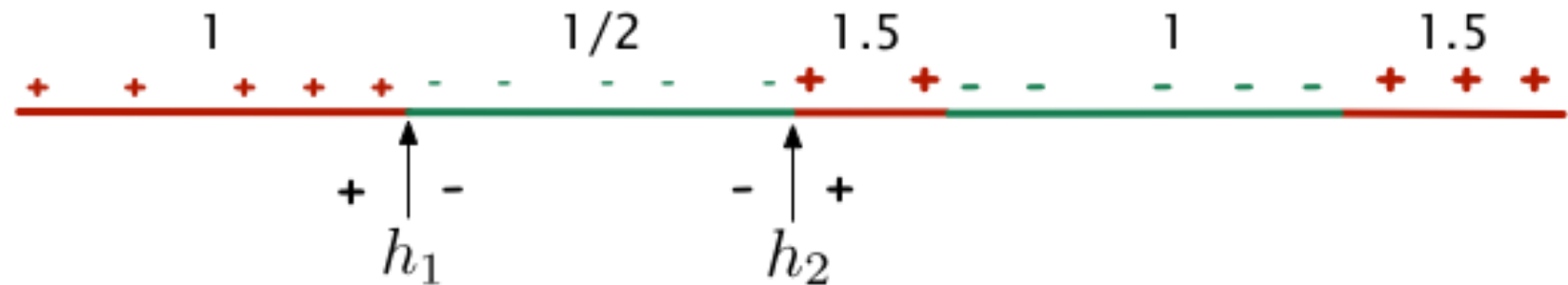
- Sous-pondération des bien classés :  $p_b(x) = \frac{1}{2(1 - \varepsilon)} = \frac{1}{2 \times 2/3} = \frac{3}{4} = 0.75$

- Sur-pondération des mal classés :  $p_m(x) = \frac{1}{2\varepsilon} = \frac{1}{2 \times 1/3} = \frac{3}{2} = 1.5$

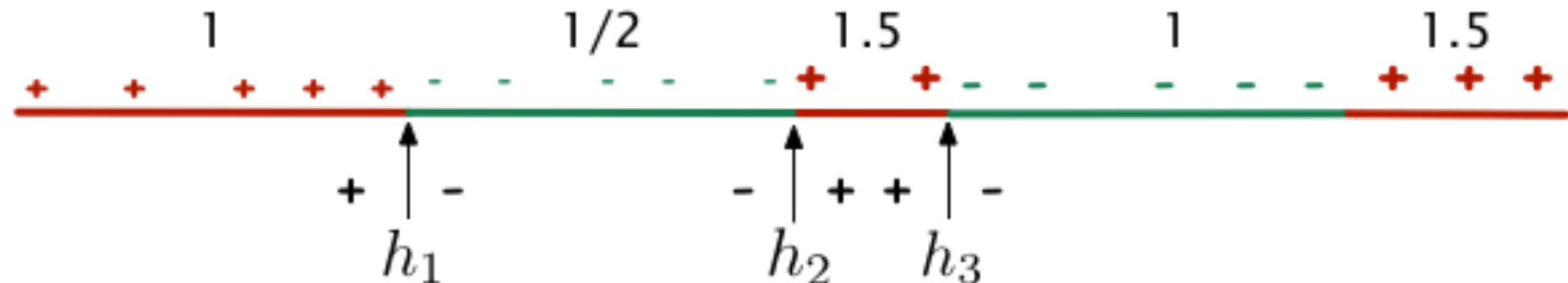
## Exemple simple



- Sous-pondération des bien classés :  $p_b(x) = \frac{1}{2(1-\varepsilon)} = \frac{1}{2 \times 2/3} = \frac{3}{4} = 0.75$
- Sur-pondération des mal classés :  $p_m(x) = \frac{1}{2\varepsilon} = \frac{1}{2 \times 1/3} = \frac{3}{2} = 1.5$



## Exemple simple

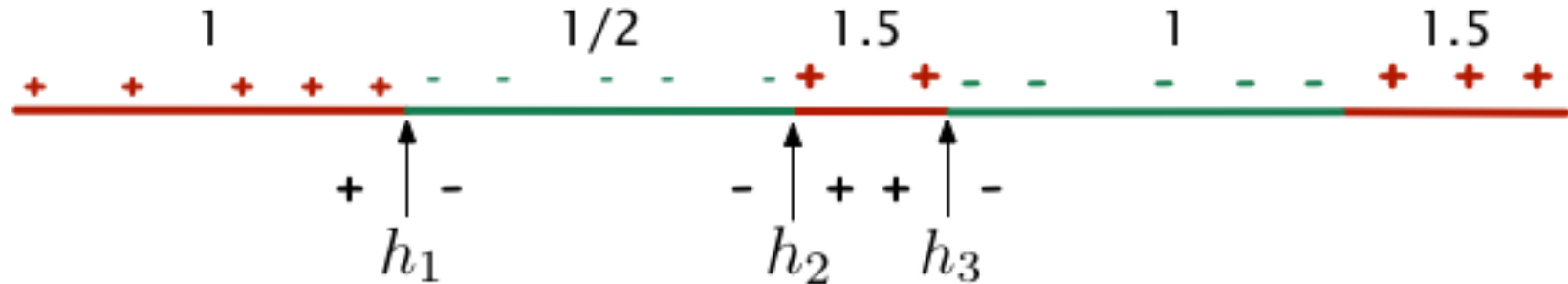


- Taux d'erreur :  $\varepsilon_3 = \frac{(5 \times 1/2) + (3 \times 1.5)}{20} = \frac{7}{20} = 0.35$

$$\alpha_3 = \frac{1}{2} \ln \frac{1 - \varepsilon_2}{\varepsilon_2} = \frac{1}{2} \ln \frac{0.65}{0.35} = 0.310$$

- Sous-pondération des bien classés :  $p_b(x) = \frac{1}{2(1 - \varepsilon)} = \frac{1}{2 \times 0.65} = \frac{1}{1.3} = 0.769$
- Sur-pondération des mal classés :  $p_m(x) = \frac{1}{2\varepsilon} = \frac{1}{2 \times 0.35} = \frac{1}{0.7} = 1.429$

## Exemple simple

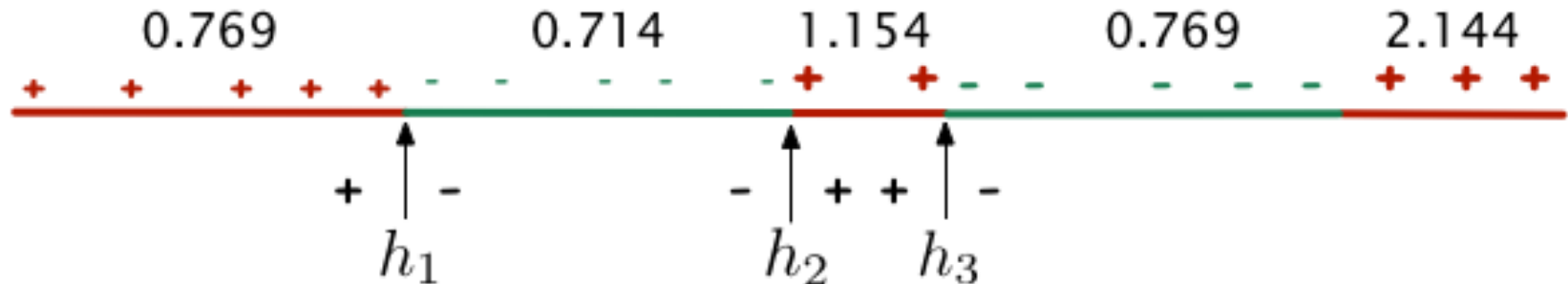


- Sous-pondération

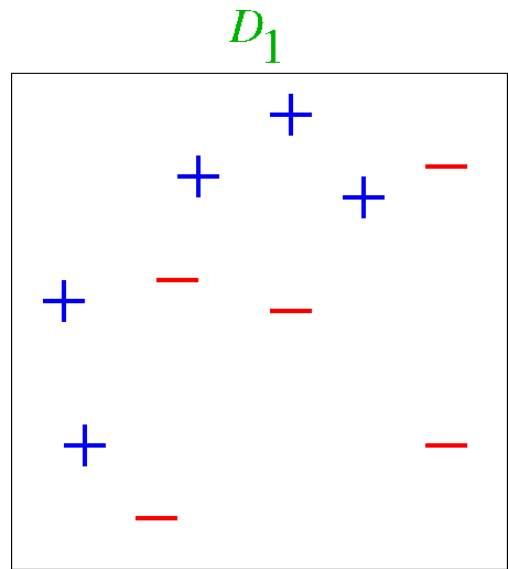
des bien classés :  $p_b(x) = \frac{1}{2(1 - \varepsilon)} = \frac{1}{2 \times 0.65} = \frac{1}{1.3} = 0.769$

- Sur-pondération

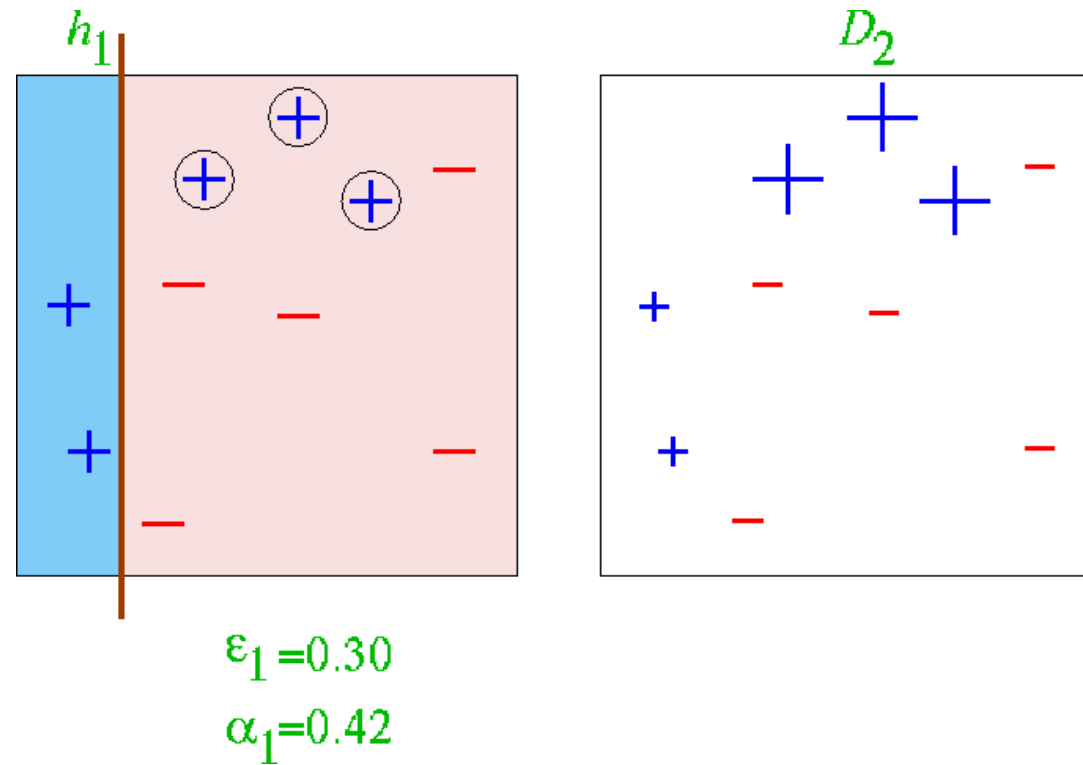
des mal classés :  $p_m(x) = \frac{1}{2\varepsilon} = \frac{1}{2 \times 0.35} = \frac{1}{0.7} = 1.429$



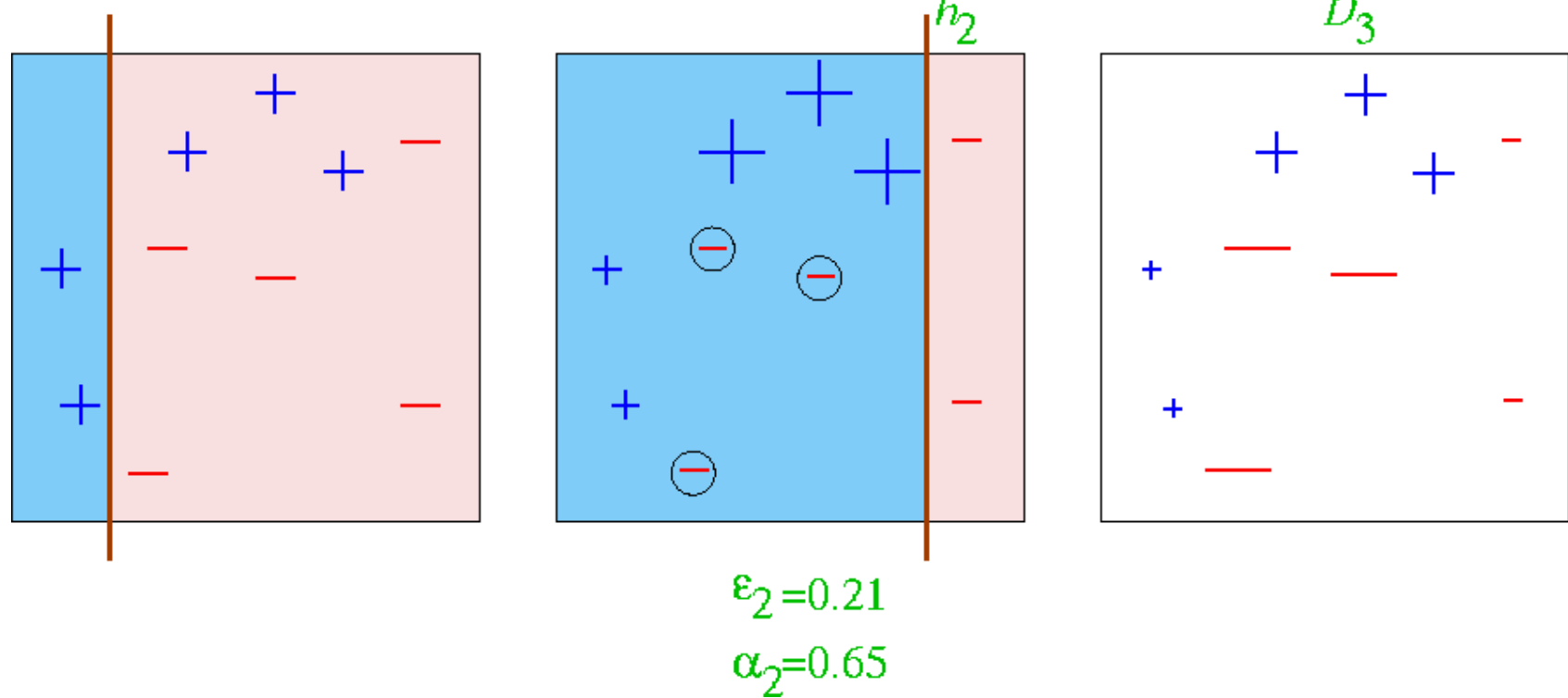
## *Exemple jouet*



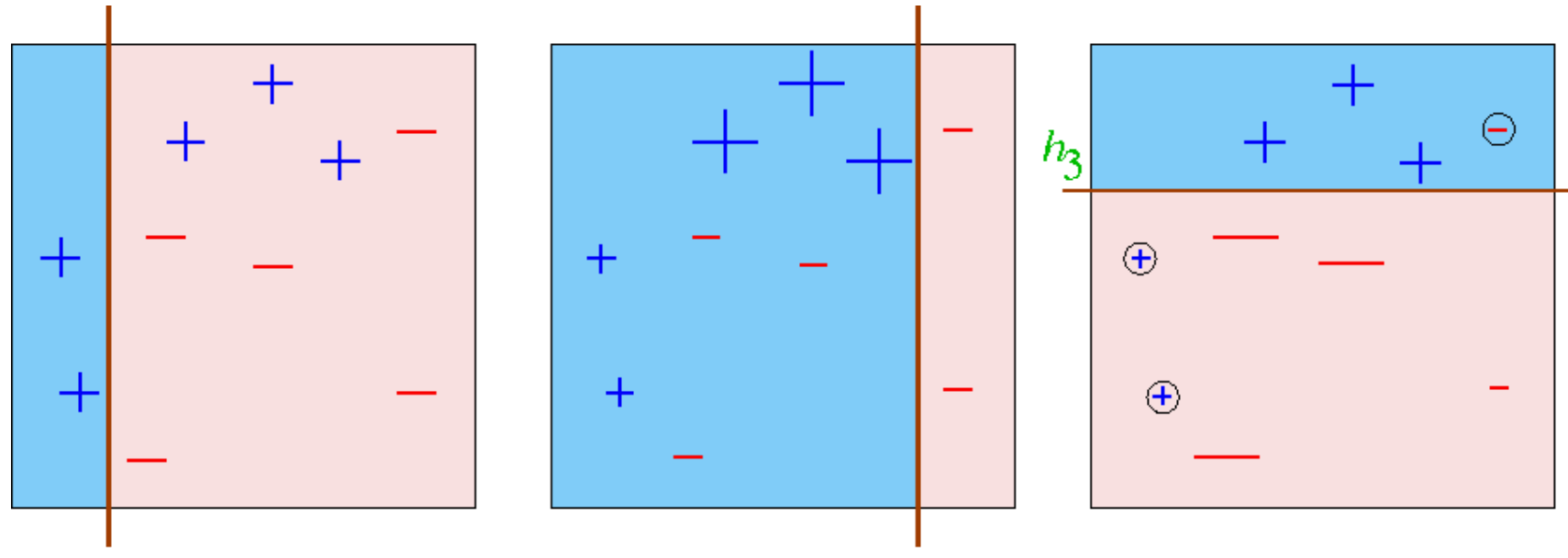
# Étape 1



## Étape 2



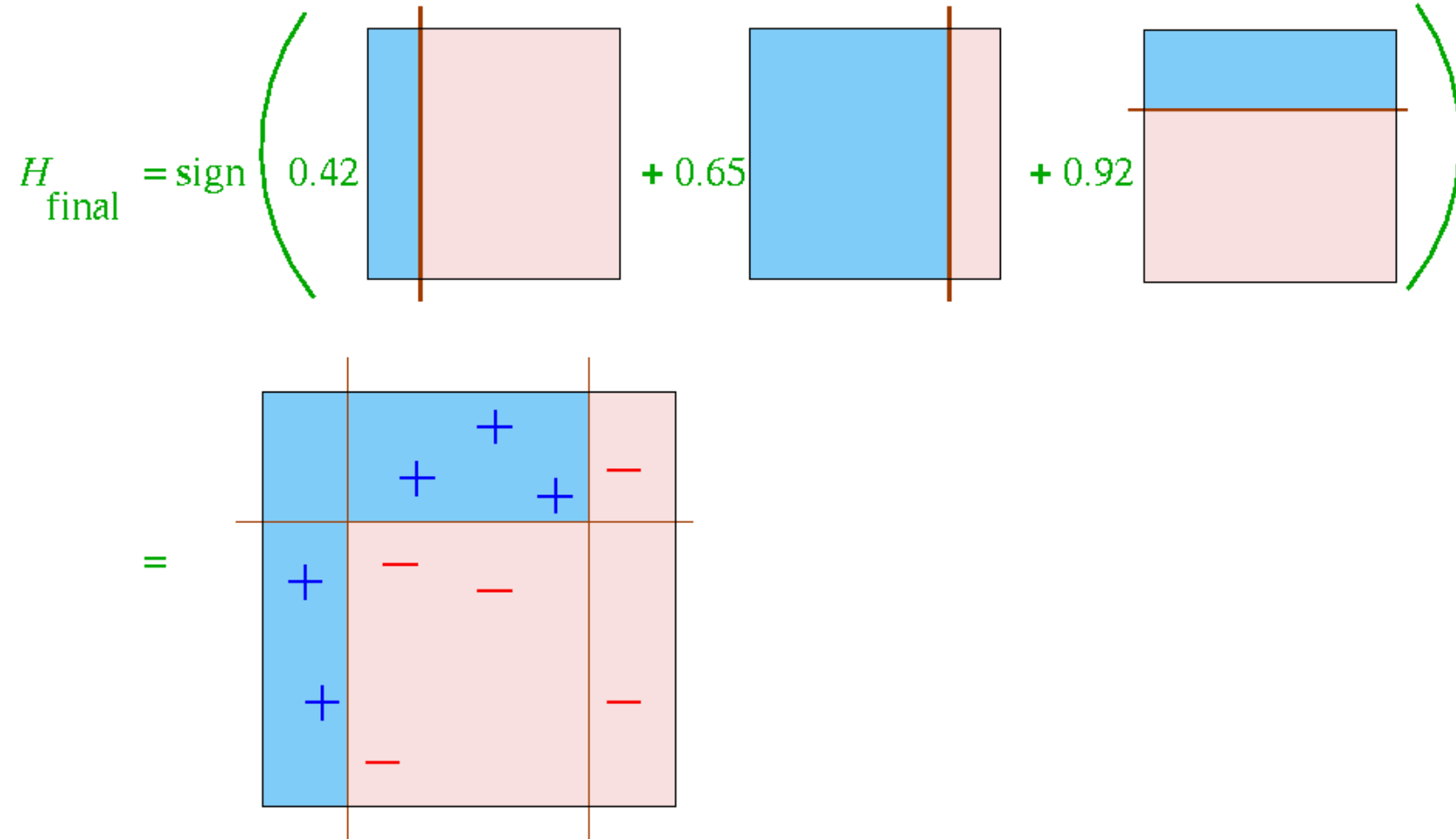
## Étape 3



$$\epsilon_3 = 0.14$$

$$\alpha_3 = 0.92$$

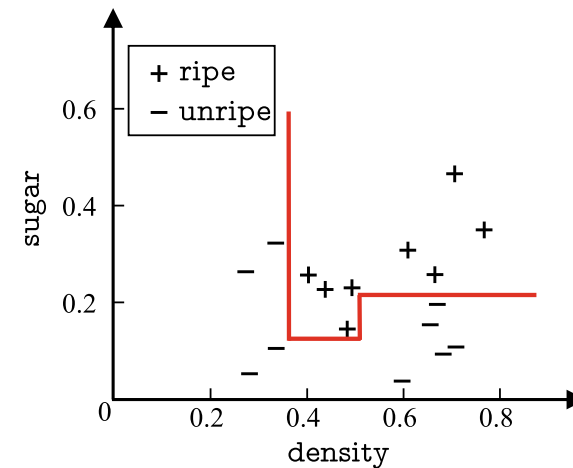
## Hypothèse finale



Boosting 50

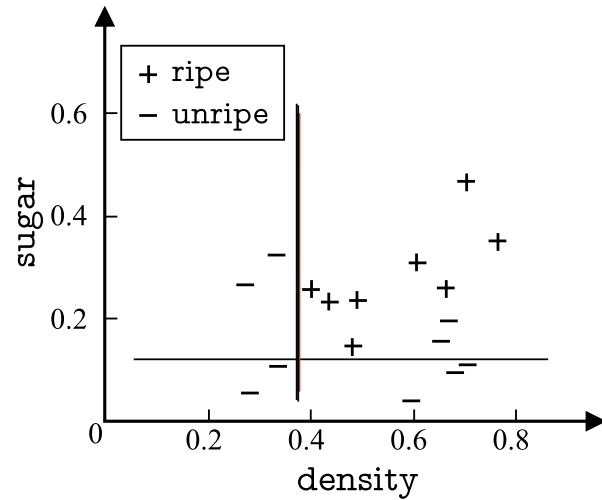
## Autre *illustration du boosting* sur jeu de données

ID	density	sugar	ripe
1	0.697	0.460	true
2	0.774	0.376	true
3	0.634	0.264	true
4	0.608	0.318	true
5	0.556	0.215	true
6	0.403	0.237	true
7	0.481	0.149	true
8	0.437	0.211	true
9	0.666	0.091	false
10	0.243	0.267	false
11	0.245	0.057	false
12	0.343	0.099	false
13	0.639	0.161	false
14	0.657	0.198	false
15	0.360	0.370	false
16	0.593	0.042	false
17	0.719	0.103	false

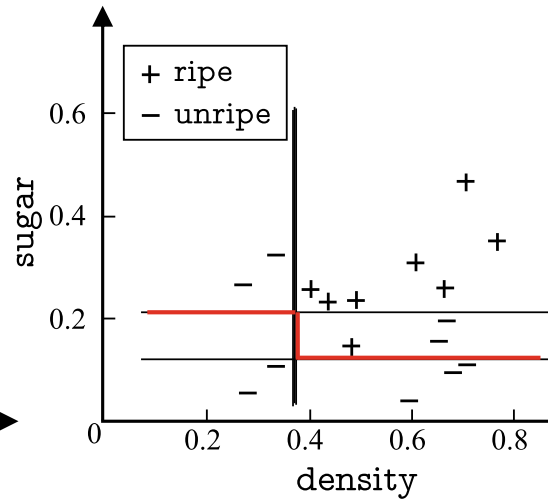


Apprentissage par  
arbre de décisions

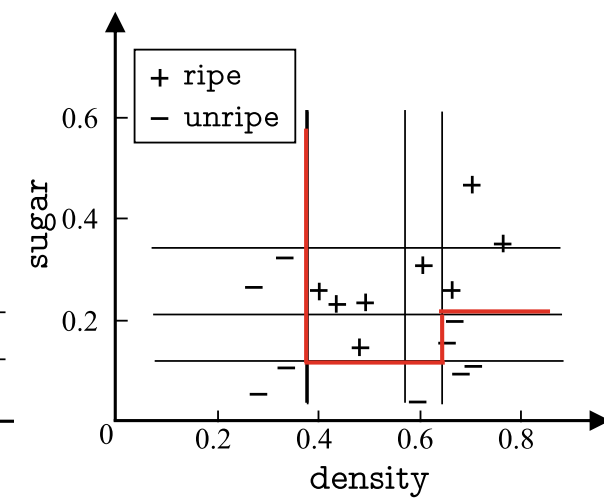
## Autre illustration du boosting sur jeu de données



(a) 3 base learners.



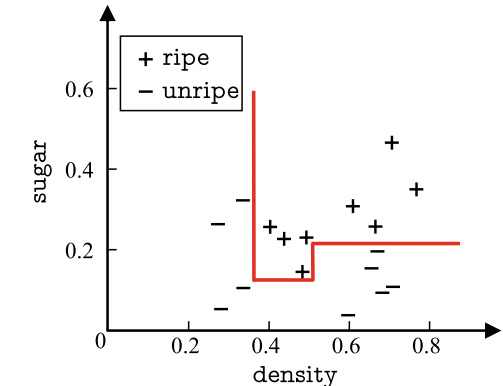
(b) 5 base learners.



(c) 11 base learners.

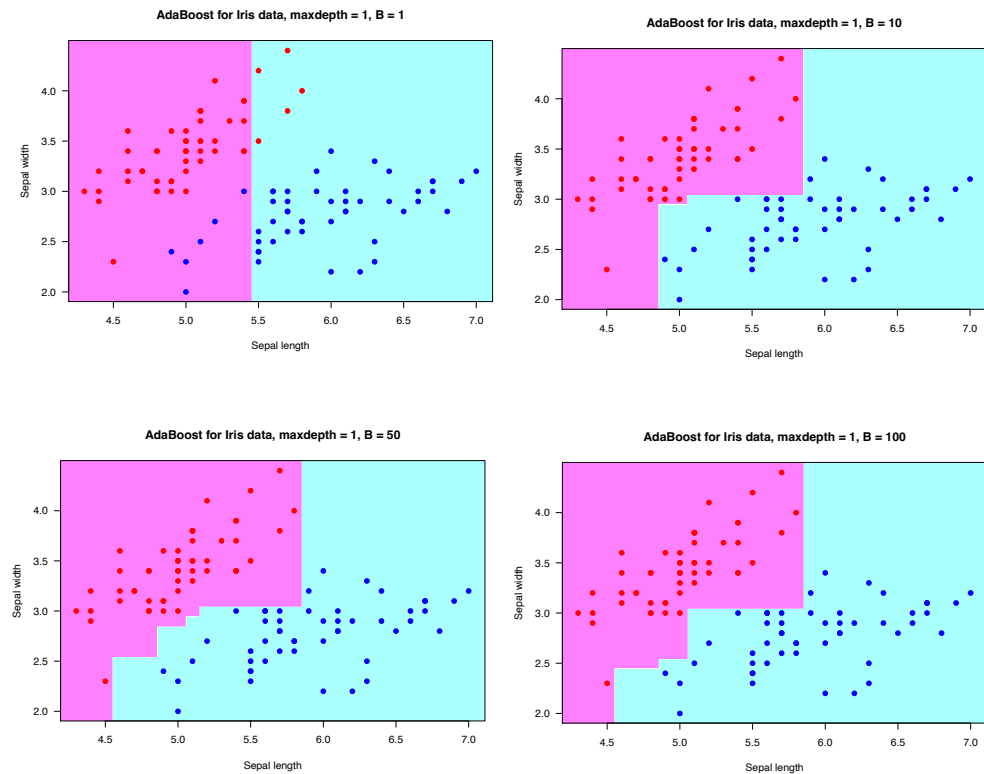
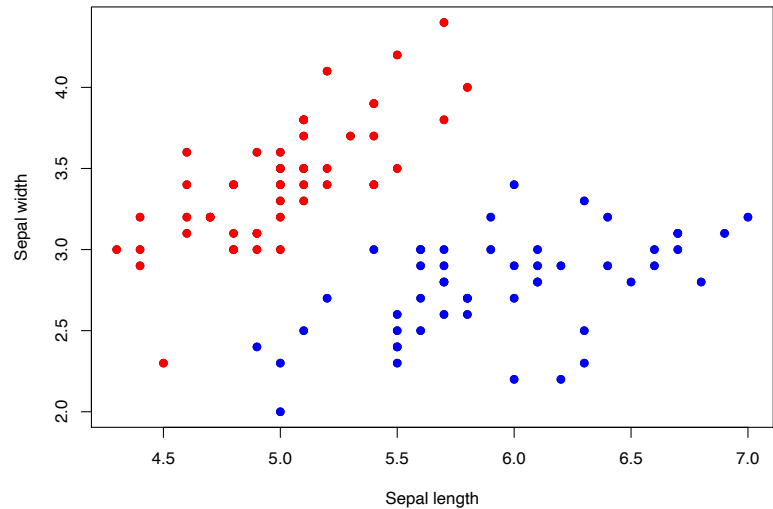
Here “**base learner**” = **decision stump**

Arbre de décisions

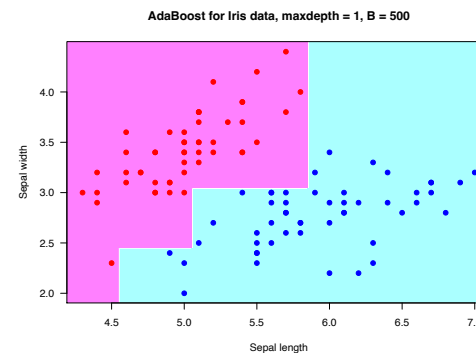


From [Zhi-Hua ZHOU « Machine Learning ». Springer, 2021]

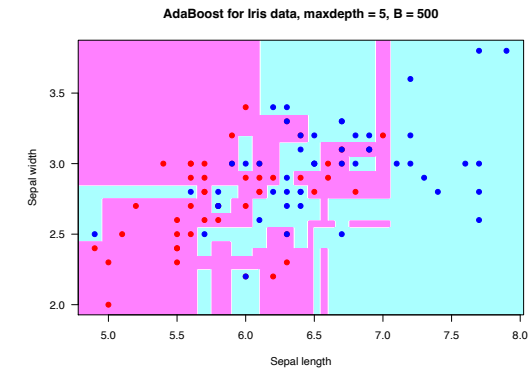
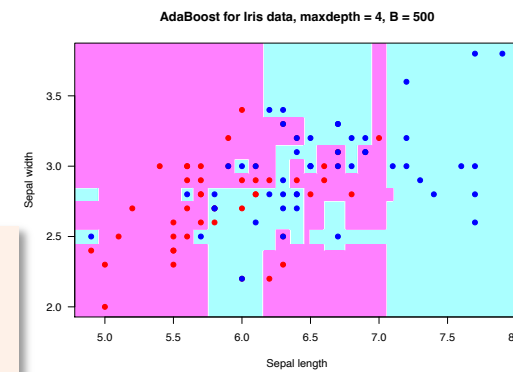
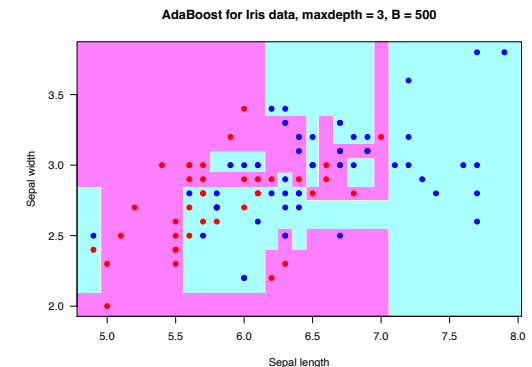
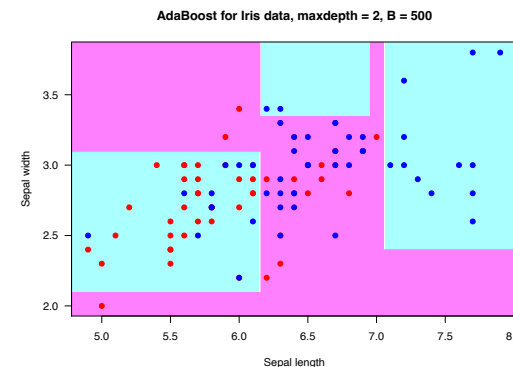
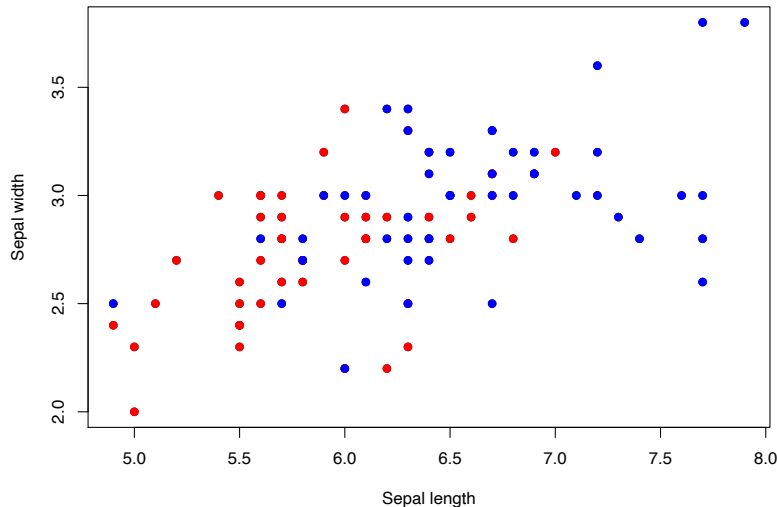
## Boosting sur jeu de données « Iris » (Setosa vs. Versicolor)



Effet du nombre d'itérations



## Boosting sur jeu de données « Iris » (Versicolor vs. Virginica)



Effet de la profondeur des arbres

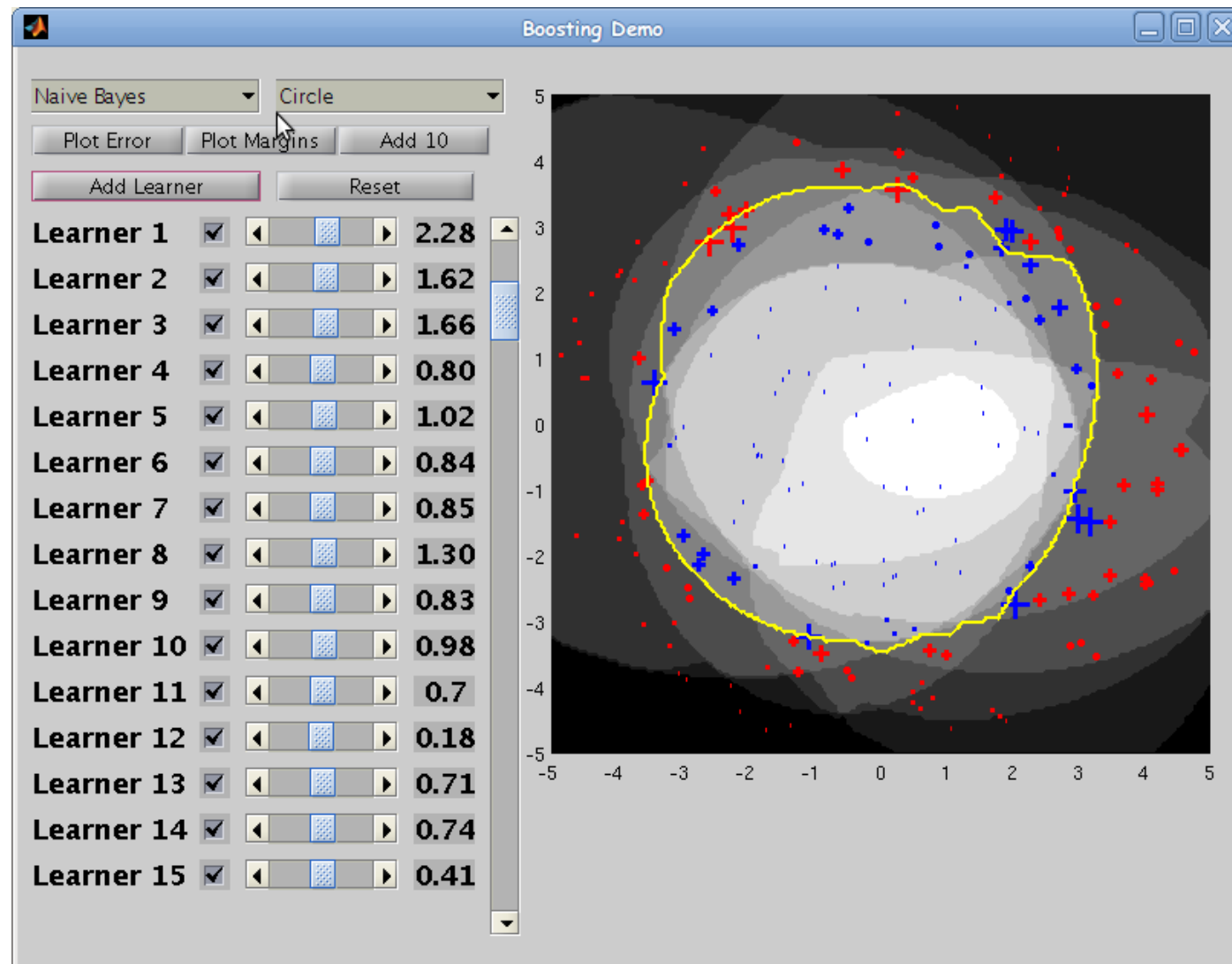
# Exercice

## *Boosting : Des demos en ligne*

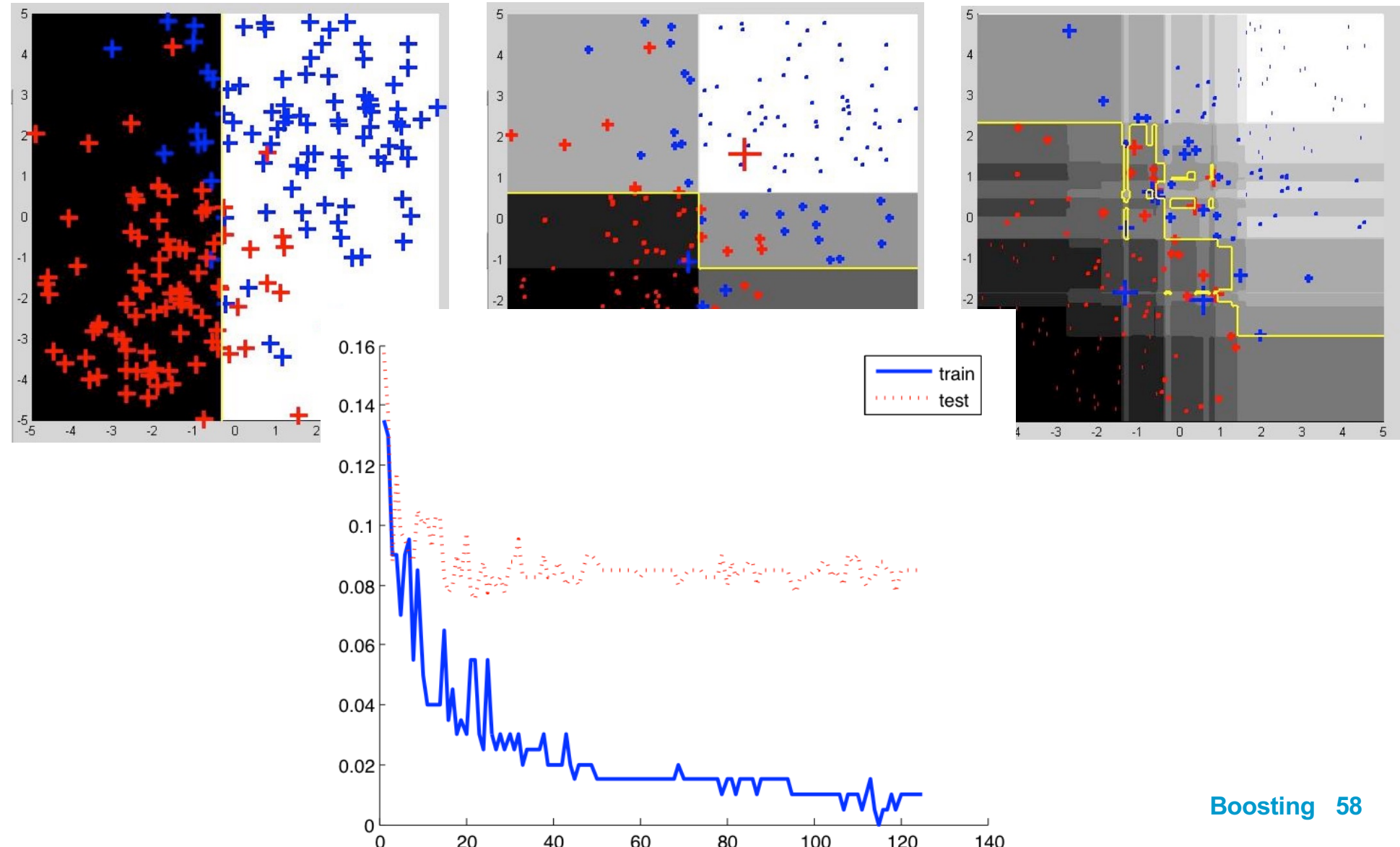
<http://www.research.att.com/~yoav/adaboost/index.html>

[http://www.mathworks.com/matlabcentral/fx\\_files/29245/1/boosting\\_demo.png](http://www.mathworks.com/matlabcentral/fx_files/29245/1/boosting_demo.png)

# Boostingdemo de Richard Staphenhurst



# Boostingdemo de Richard Stapenhurst



## *Plan*

1. Méthodes d'ensemble
2. Le boosting
3. Le boosting : pourquoi ça marche
4. Le bagging
5. Les forêts aléatoires
6. XGBoost : le boosting d'arbres
7. Vers d'autre méthodes d'ensemble ?

# Analyse théorique du boosting

# Dérivation de l'algorithme du boosting

# Dérivation de l'algorithme du boosting

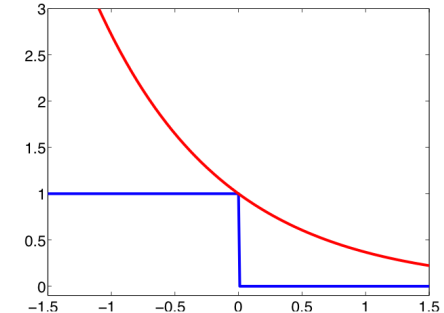
## ■ Re-déivation du boosting

- En choisissant une *fonction de perte surrogée* de forme exponentielle

Soit :  $H_{T-1} = \alpha_1 h_1(\mathbf{x}) + \alpha_2 h_2(\mathbf{x}) + \dots + \alpha_{T-1} h_{T-1}(\mathbf{x})$

On veut ajouter :  $\alpha_T h_T(\mathbf{x})$

$$\begin{aligned} R_{\text{Emp}}(H_T) &= \sum_{i=1}^m e^{-y_i [H_{T-1}(\mathbf{x}_i) + \alpha_T h_T(\mathbf{x}_i)]} \\ &= \sum_{i=1}^m e^{-y_i H_{T-1}(\mathbf{x}_i)} \cdot e^{-\alpha_T y_i h_T(\mathbf{x}_i)} \\ &= \sum_{i=1}^m W_{T-1}(\mathbf{x}_i) \cdot e^{-\alpha_T y_i h_T(\mathbf{x}_i)} \end{aligned}$$



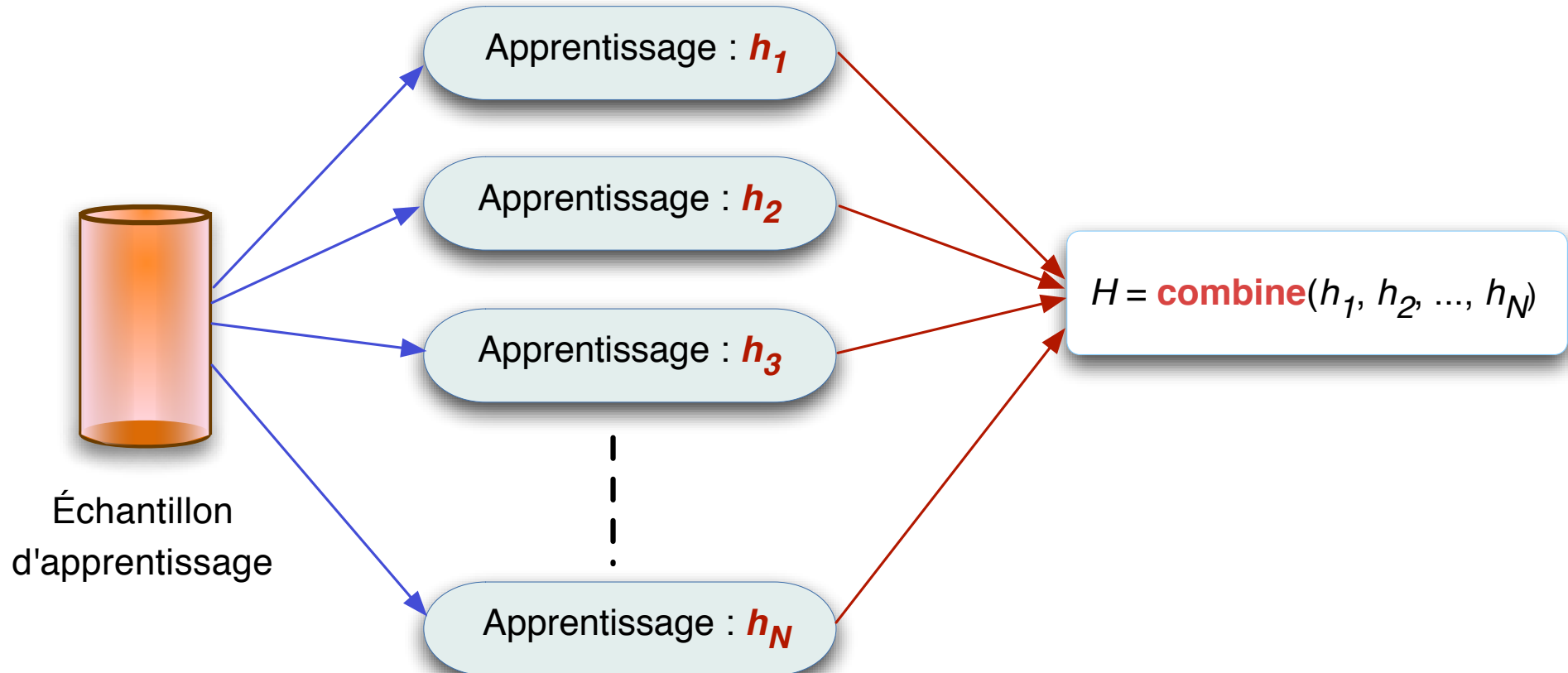
$$\ell(h(\mathbf{x}), y) = e^{-y \cdot h(\mathbf{x})}$$

$$\frac{\partial R_{\text{Emp}}(H_T)}{\partial \alpha} \propto e^{-\alpha} \underbrace{(1 - \varepsilon_T)}_{\substack{\text{poids des exemples} \\ \text{correctement prédits}}} + e^{\alpha} \underbrace{\varepsilon_T}_{\substack{\text{poids des exemples} \\ \text{incorrectement prédits}}}$$



$$\alpha_T = \frac{1}{2} \log \frac{1 - \varepsilon_T}{\varepsilon_T}$$

# Schéma général : *apprentissage*



Bounds on training error

and

On generalization error

## *Bound on the training error*

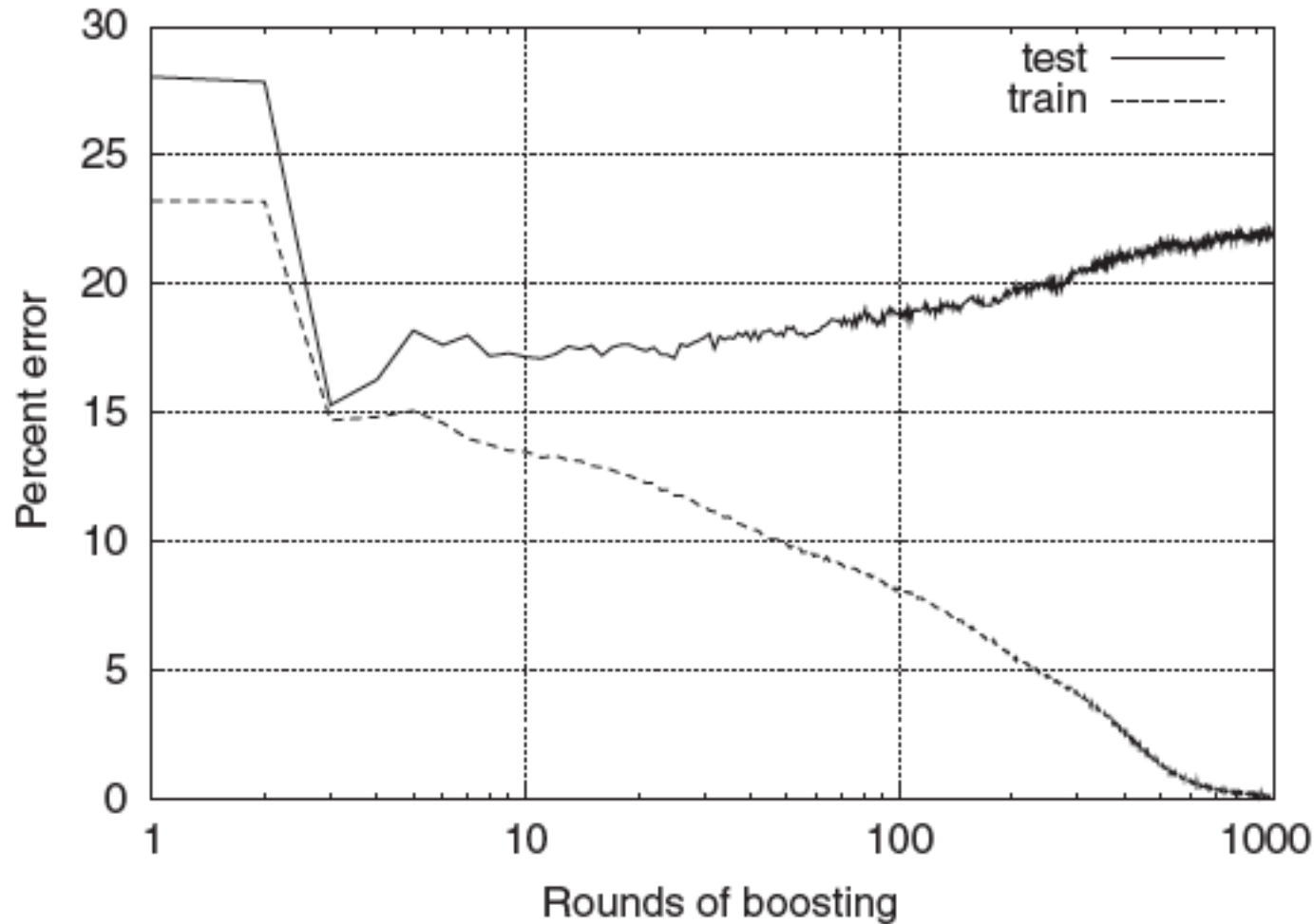
- Theorem:

- write  $\epsilon_t$  as  $1/2 - \gamma_t$  [  $\gamma_t$  = “edge” ]
- then

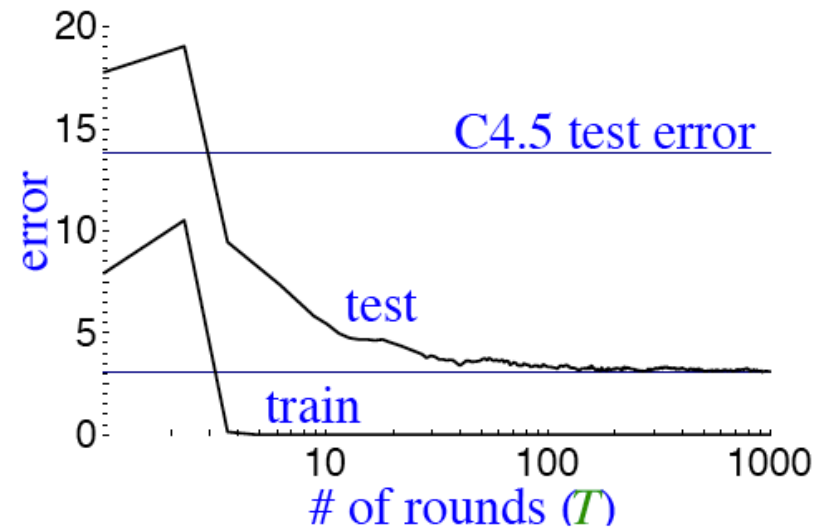
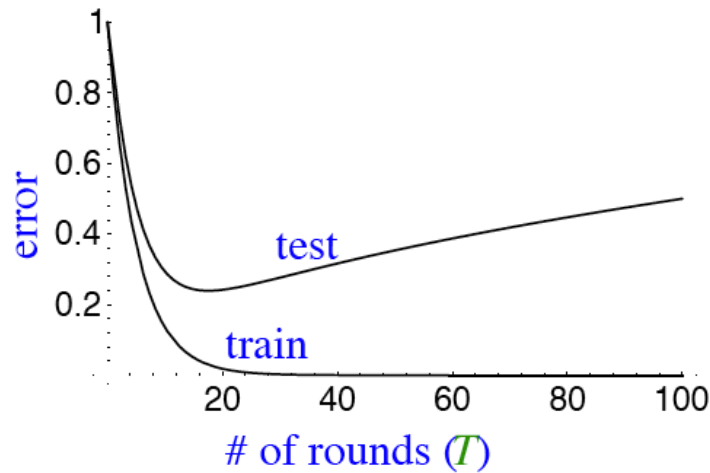
$$\begin{aligned}\text{training error}(H_{\text{final}}) &\leq \prod_t \left[ 2\sqrt{\epsilon_t(1-\epsilon_t)} \right] \\ &= \prod_t \sqrt{1 - 4\gamma_t^2} \\ &\leq \exp \left( -2 \sum_t \gamma_t^2 \right)\end{aligned}$$

- so: if  $\forall t : \gamma_t \geq \gamma > 0$   
then  $\text{training error}(H_{\text{final}}) \leq e^{-2\gamma^2 T}$
- AdaBoost is adaptive:
  - does **not** need to know  $\gamma$  or  $T$  a priori
  - can exploit  $\gamma_t \gg \gamma$

## *Evolution of the error curves (learning & test)*



## *How to explain the evolution of the generalization error?*

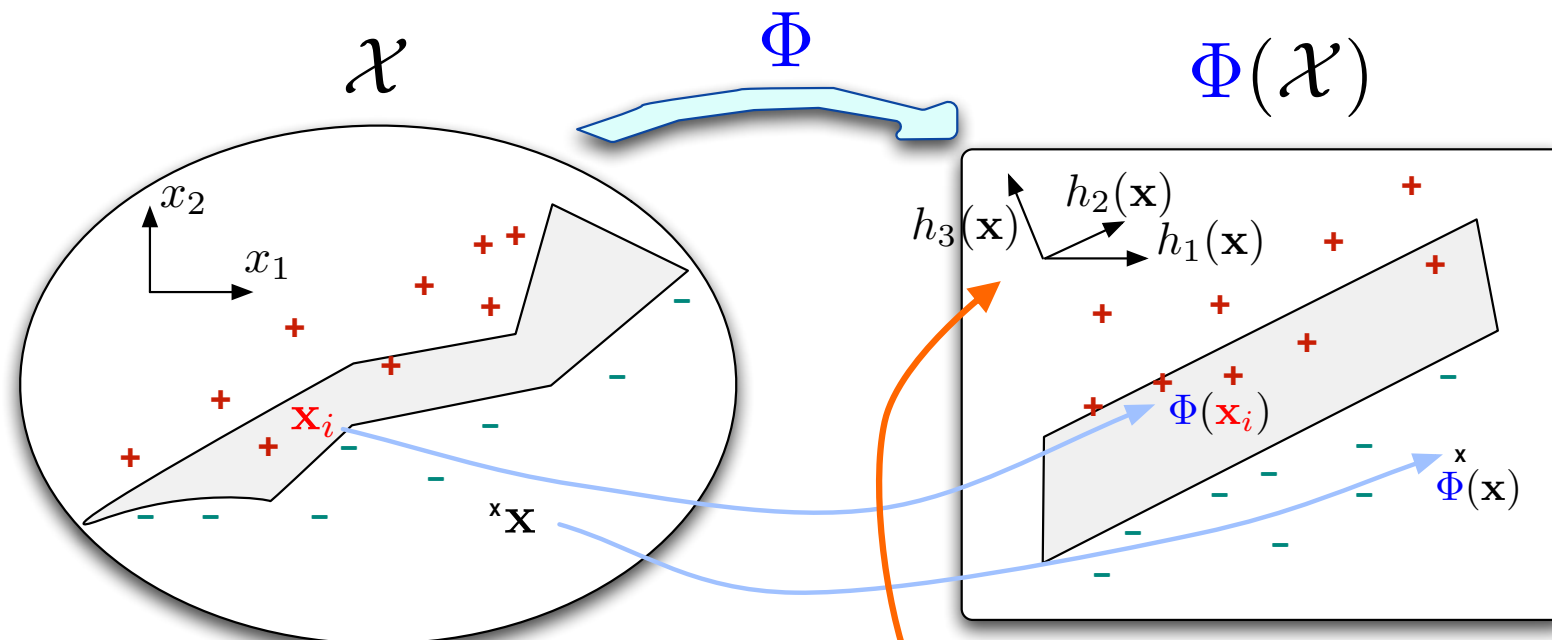


- The test error **does not increase**, even after  $1000$  steps ( $2 \cdot 10^6$  test nodes !!)
  - Boosting C4.5 on the « letter » dataset

# Arguments pour expliquer les propriétés du boosting

## (the unreasonable power of boosting)

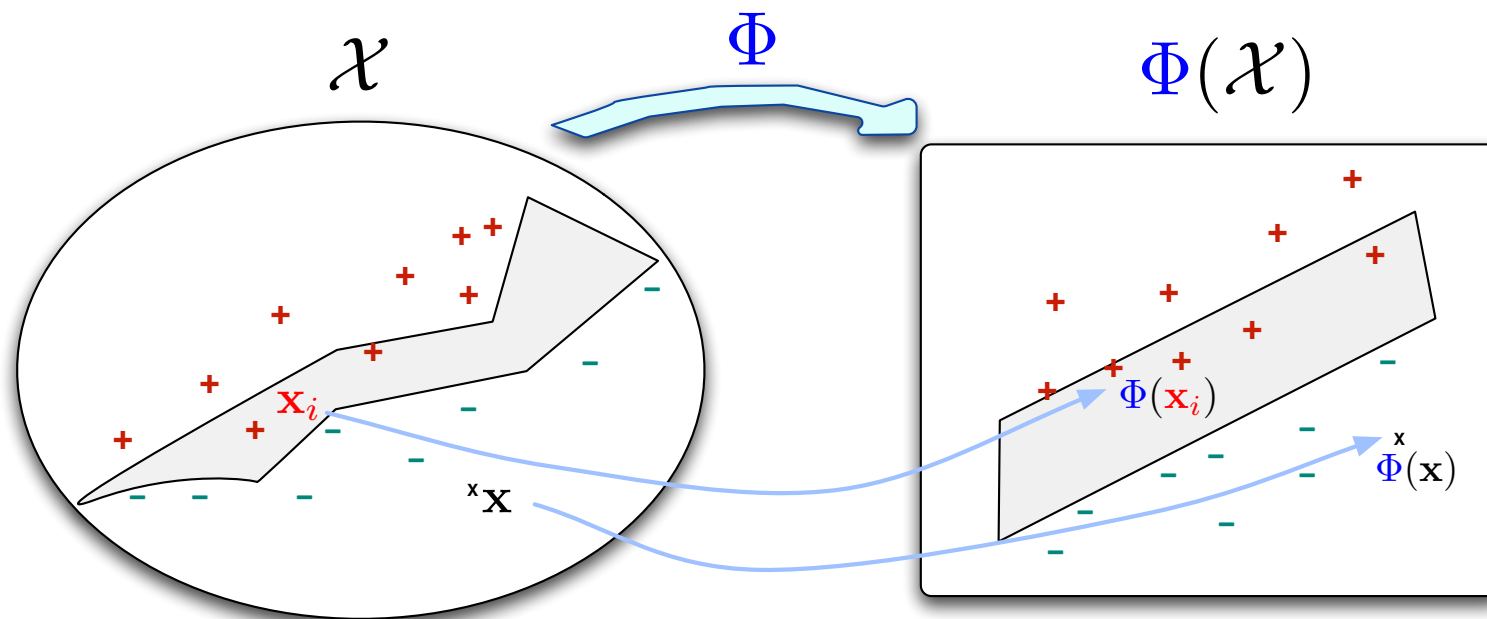
## Boosting and redescription



$$H(\mathbf{x}) = \text{sign} \left\{ \sum_{t=1}^T \alpha_t h_t(\mathbf{x}) \right\}$$

- Iterative construction of the redescription space

## SVM and *kernel* methods

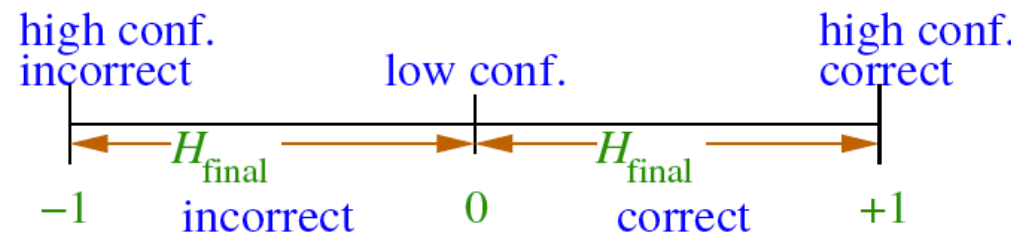


$$h^*(\mathbf{x}) = \text{sign} \left\{ \sum_{i \in \mathcal{P}_S} \alpha_i^* y_i \kappa(\mathbf{x}_i, \mathbf{x}) + w_0^* \right\}$$

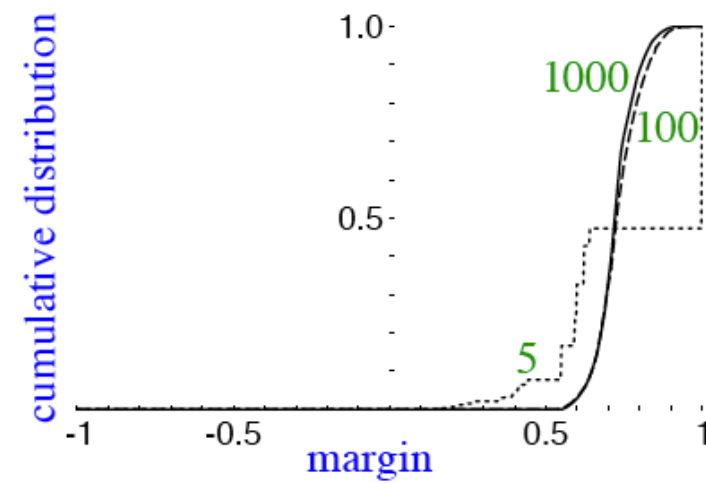
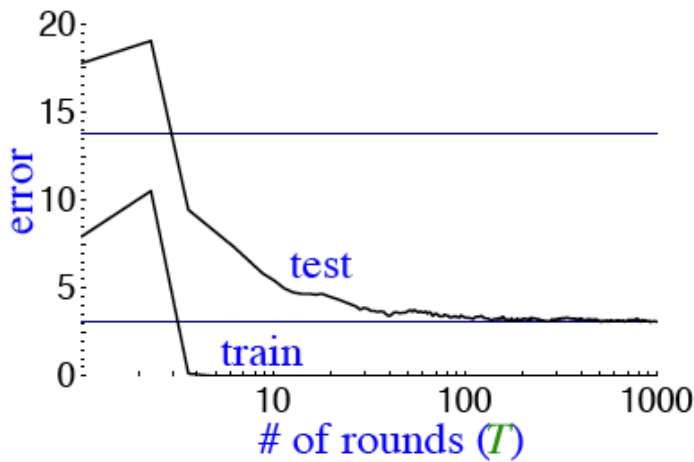
# *Une explication par la « marge »*

## ■ Idée :

- L'erreur en apprentissage ne mesure que le taux d'erreur en prédiction
- Il faut aussi **tenir compte de la confiance de la prédiction**
- On peut estimer cette confiance par la **marge**
  - = poids des classifieurs ayant voté correctement
  - poids des classifieurs en erreur



# *Étude de la distribution des marges des $x_i$*

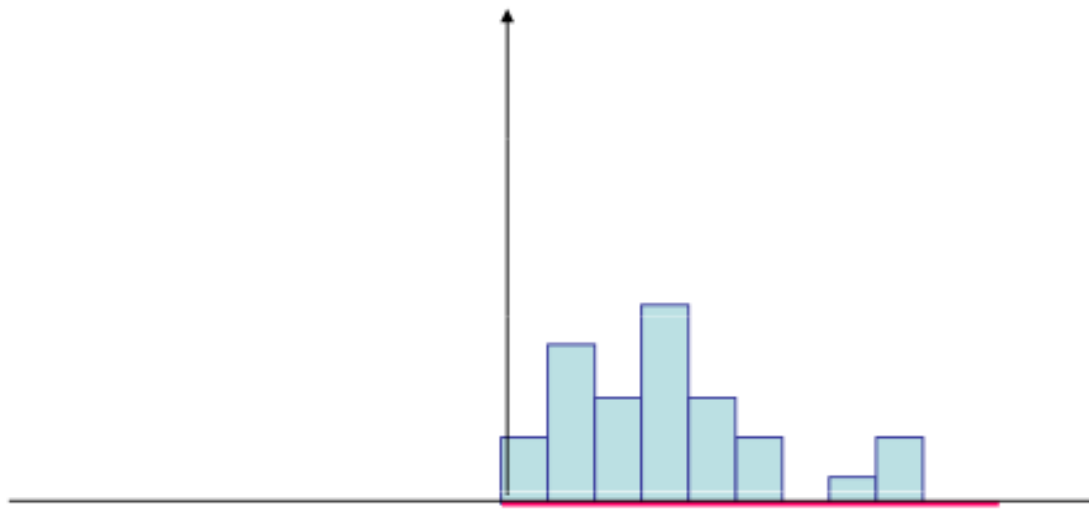


	# rounds	5	100	1000
train error	0.0	0.0	0.0	0.0
test error	8.4	3.3	3.1	3.1
% margins $\leq 0.5$	7.7	0.0	0.0	0.0
minimum margin	0.14	0.52	0.55	0.55

## *Argument de la maximisation de la marge*

- À chaque étape, AdaBoost placerait le **plus de poids sur les exemples  $x_i$  de plus faible marge** tout en continuant à améliorer la marge sur les autres
- L'hypothèse finale serait **complexe mais proche d'une hypothèse simple** d'erreur d'apprentissage proche (et donc d'erreur en généralisation faible aussi)

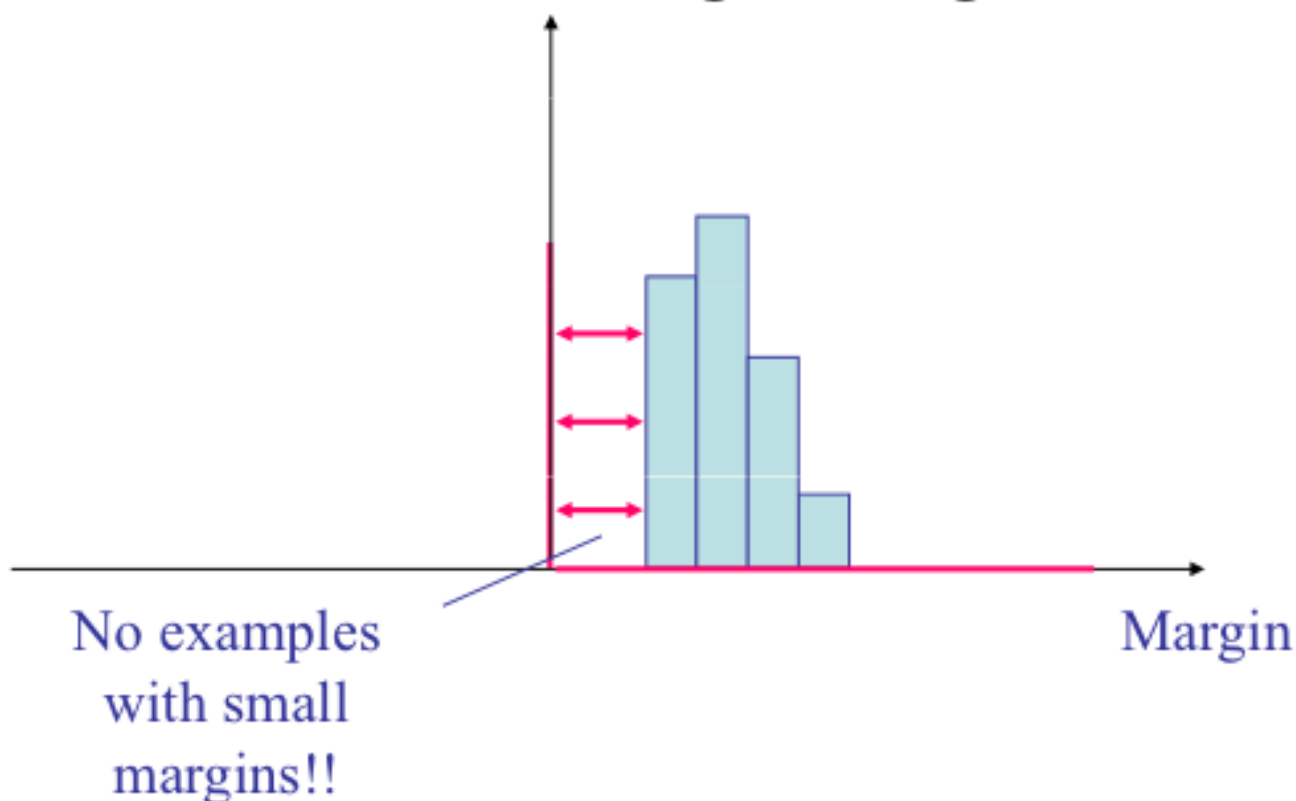
# Analyse théorique : maximisation de la marge



$$\text{Margin} = y \cdot f(x)$$

Histogram of functional margin for ensemble just after achieving zero training error

## *Analyse théorique : maximisation de la marge*



Even after zero training error the margin of examples increases.  
This is one reason that the generalization error may continue decreasing.

## *The intuitive argument*

[Shapire & Freund, “*Boosting. Foundations and Algorithms*”, MIT Press, 2012], p.97

- When a vote is organized among a very large number of voters, it is often possible to forecast the result of the vote by **randomly polling a tiny subset** of the electorate.
- The **larger the margin** between the candidates, the **smaller the poll** can be.

Well, a boosting ensemble **is not** a random selection of classifiers ...

→ The theorems will apply to any selection of classifiers

## *Bornes en généralisation*

$$R_{Réel} \leq R_{Emp} + \mathcal{O}\left(\sqrt{\frac{T \cdot d_{\mathcal{H}}}{m}}\right)$$

## Plus techniquement

- with high probability,  $\forall \theta > 0$  :

$$\text{generalization error} \leq \hat{\Pr}[\text{margin} \leq \theta] + \tilde{O}\left(\frac{\sqrt{d/m}}{\theta}\right)$$

( $\hat{\Pr}[\cdot]$  = empirical probability)

- bound depends on
  - $m$  = # training examples
  - $d$  = “complexity” of weak classifiers
  - entire distribution of margins of training examples
- $\hat{\Pr}[\text{margin} \leq \theta] \rightarrow 0$  exponentially fast (in  $T$ ) if  
(error of  $h_t$  on  $D_t$ )  $< 1/2 - \theta$  ( $\forall t$ )
  - so: if weak learning assumption holds, then all examples will quickly have “large” margins

*Mais ...*

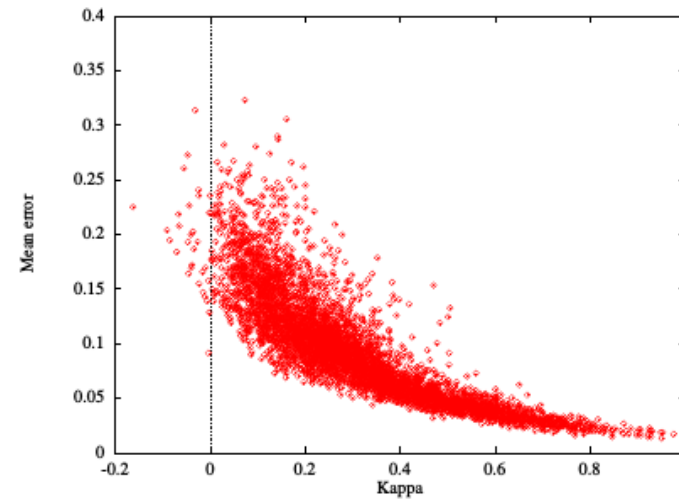
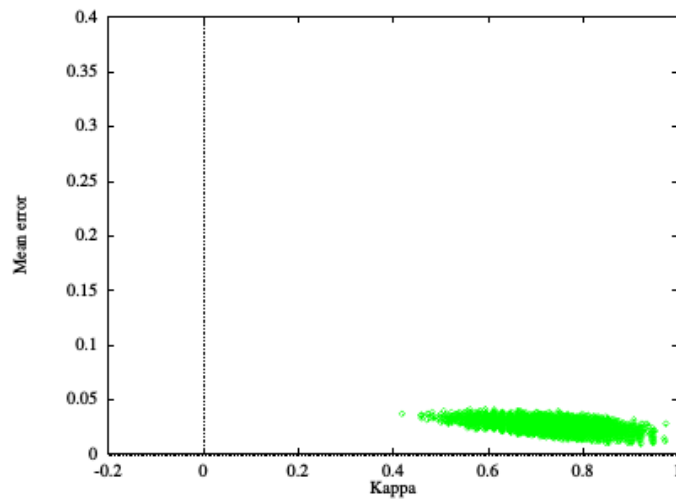
AdaBoost fait grandir les marges... sans les maximiser.

Travaux poussant l'idée plus loin :

- maximiser les marges [Rätsch and Warmuth, 2003],
- mettre toutes les marges à 1 [Harries, 1999].

Ces méthodes font moins bien que AdaBoost...  
la maximisation des marges n'est pas la réponse.

AdaBoost produit des hypothèses bien plus *diverses* que les autres méthodes d'ensemble [Dietterich, 2000] :



Poursuivre sur cette piste :

- méthode favorisant la diversité [Melville and Mooney, 2004],
- mesures de la diversité [Kuncheva and Whitaker, 2003],

...

# Autres perspectives pour expliquer les propriétés du boosting

## *Autres perspectives*

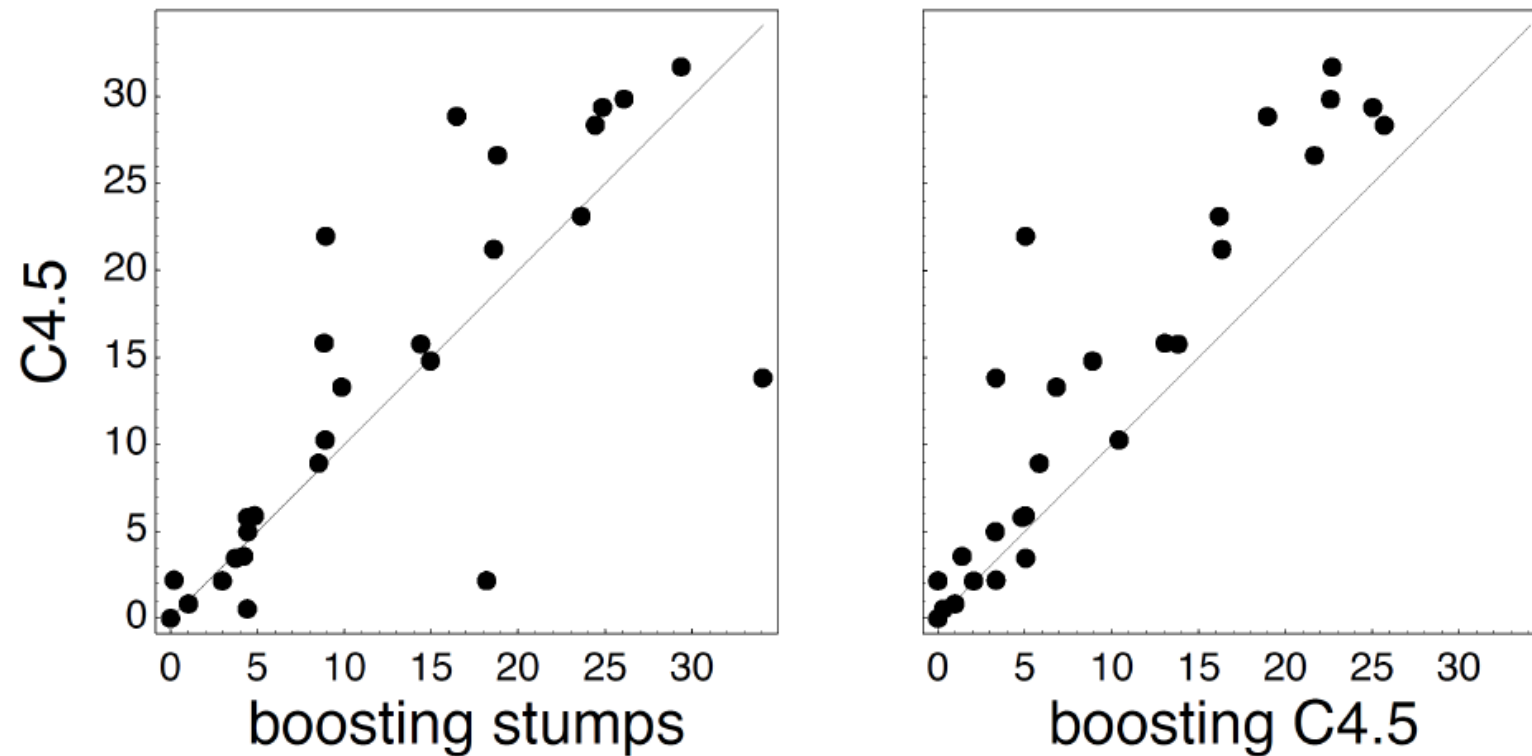
- La théorie des jeux
  - Inspiration originale pour développer le boosting
- Minimisation de la perte (surrogée)
  - Vue plus haut (et plus loin)
- Point de vue géométrie de l'information

# Bilan

# *Avantages pratiques de AdaBoost*

- (très) rapide
- simple + facile à programmer
- **Un seul paramètre** à régler : le nombre d' étapes de boosting ( $T$ )
- Applicable à de nombreux domaines par un bon choix de classifieur faible (neuro net, C4.5, ...)
- **Pas de sur-spécialisation** par la maximisation des marges
- Peut être adapté au cas où  $h_t : \mathcal{X} \rightarrow \mathcal{R}$  ; la classe est définie par le signe de  $h_t(x)$  ; la confiance est donnée par  $| h_t(x) |$
- Peut être adapté aux problèmes multi-classes où  $y_i \in \{1, \dots, c\}$  et aux problèmes multi-étiquettes
- Permet de trouver les exemples aberrants (outliers)

## *Performances du boosting*



Test error rate on 27 benchmark problems  
x-axis: boosting; y-axis: base-line (C4.5)

# *Quand est-ce que ça ne marche pas*

- Rappel : **No-free-lunch-theorem**
- Boosting inadapté quand
  - Pas assez de données
  - Comité (d'apprenants faibles) **trop restreint**
  - Apprenants faibles **trop stables** (quoique ... argument surtout valable pour le bagging)
  - Apprenants faibles **trop forts** !
    - Peuvent faire du surapprentissage par eux-mêmes
  - Données **bruitées**

# Aspects pratiques

Avantages	Difficultés
<ul style="list-style-type: none"><li>• Un <b>meta-algorithme</b> d'apprentissage : utiliser n'importe quel algorithme d'apprentissage faible</li><li>• En principe, <b>un seul paramètre</b> à régler (le nombre <math>T</math> d'itérations)</li><li>• <b>Facile et ais�� �� programmer</b></li><li>• <b>Performances th��oriques garanties</b></li></ul>	<ul style="list-style-type: none"><li>• Difficile d'incorporer des connaissances a priori</li><li>• Difficile de savoir comment r��gulariser</li><li>• Le meilleur choix d'un apprenant faible n'est pas ��vident</li><li>• Les fronti��res de d��cision en utilisant des m��thodes parall��les aux axes est souvent tr��s irr��guli��re (non interpr��table)</li></ul>

## *Boosting : résumé*

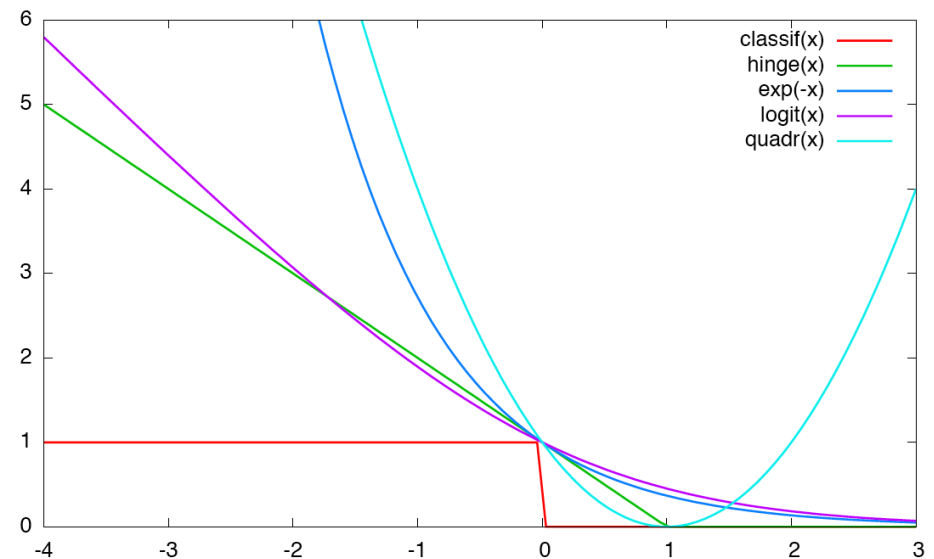
- La prédiction finale est issue d'une combinaison (vote pondéré) de plusieurs prédictions
- Méthode :
  - Itérative
  - Chaque classifieur dépend des précédents  
(les classifieurs ne sont donc pas indépendants comme dans d'autres méthodes de vote)
  - Les exemples sont pondérés différemment
  - Le poids des exemples reflète la difficulté des classifieurs précédents à les apprendre

# Autres algorithmes de boosting

# Fonctions « surrogées »

Fonctions de la forme  $\ell(x, y) = \varphi(-xy)$  :

Nom	$\varphi(x)$
Exponentiel	$\exp(-x)$
Logit	$\log_2(1 + \exp(-x))$
Quadratique	$(1 - x)^2$
Quadratique tronqué	$(1 - x)_+^2$
Hinge (SVM)	$(1 - x)_+$



# *LogitBoost*

- Utilisation de la fonction de perte logloss
  - Pas de poids exorbitant sur les points aberrants
  - Possibilité de calculer des probabilités associées aux étiquettes

$$p(y|\mathbf{x}) = \frac{e^{h(\mathbf{x})}}{e^{-h(\mathbf{x})} + e^{h(\mathbf{x})}} = \frac{1}{1 + e^{-2h(\mathbf{x})}}$$

# Applications du boosting

# *Applications*

Text classification	Schapire and Singer - Used stumps with normalized term frequency and multi-class encoding
OCR	Schwenk and Bengio (neural networks)
Natural language Processing	Collins; Haruno, Shirai and Ooyama
Image retrieval	Thieu and Viola
Medical diagnosis	Merle <i>et al.</i>
Fraud Detection	Rätsch & Müller 2001
Drug Discovery	Rätsch, Demiriz, Bennett 2002
Elect. Power Monitoring	Onoda, Rätsch & Müller 2000

**Fuller list:** Schapire's 2002, Meir & Rätsch 2003 review

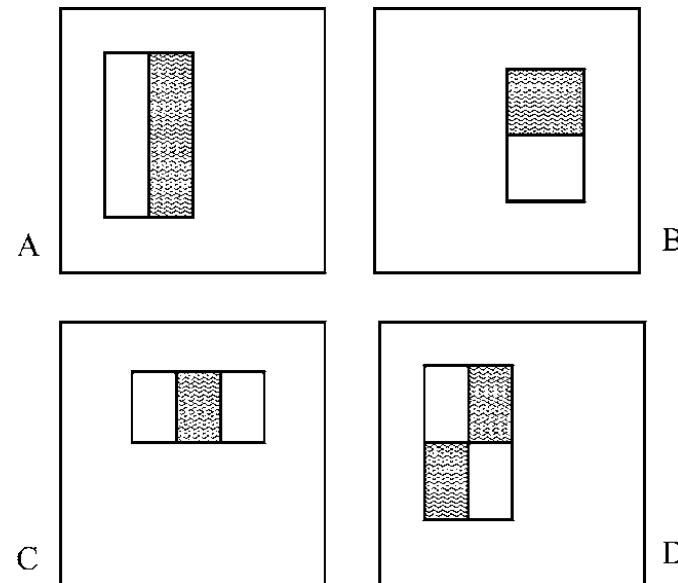
## *Face detection idea*

- 1) in Adaboost use parallel-axis (tree decision) classifier
- 2) in Viola Jones, the weak classifier is the specially designed classifier described in the paper.

## *Robust real-time face detection [Viola & Jones, 2004]*

- **Images** 384 x 288 (niveaux de gris)
- Déetecter des **visages** à toute échelle
- En **temps réel** (15 images / s) sur un smartphone !!
  
- Problèmes
  - Identifier des **descripteurs pertinents**
  - Les calculer **rapidement**
  - Les **organiser** pour faire un système performant
    - Faible FN
    - Faible FP

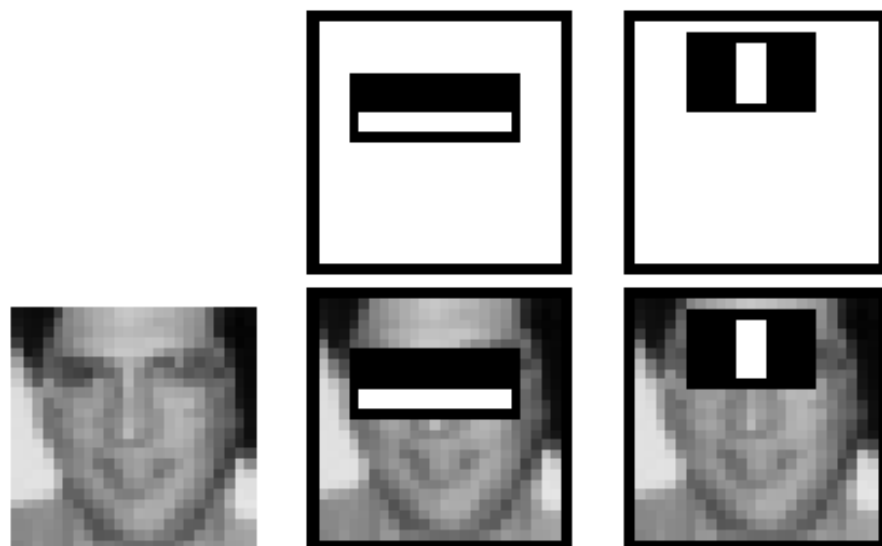
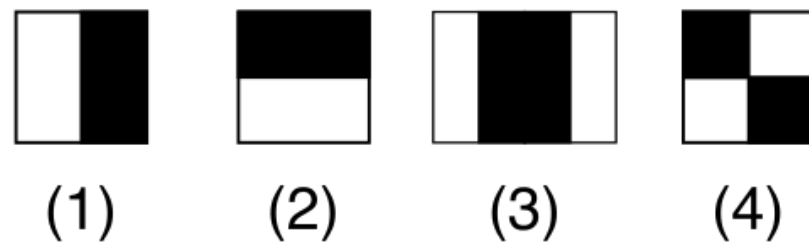
# Les descripteurs



*Figure 1.* Example rectangle features shown relative to the enclosing detection window. The sum of the pixels which lie within the white rectangles are subtracted from the sum of pixels in the grey rectangles. Two-rectangle features are shown in (A) and (B). Figure (C) shows a three-rectangle feature, and (D) a four-rectangle feature.

- Plus de 3 000 000 000 !
  - Toutes échelles
  - Seuil à définir

# *Useful Features Learned by Boosting*



Adaboost v.2c

Boosting 97

## *Example of the training set*

Positive instances

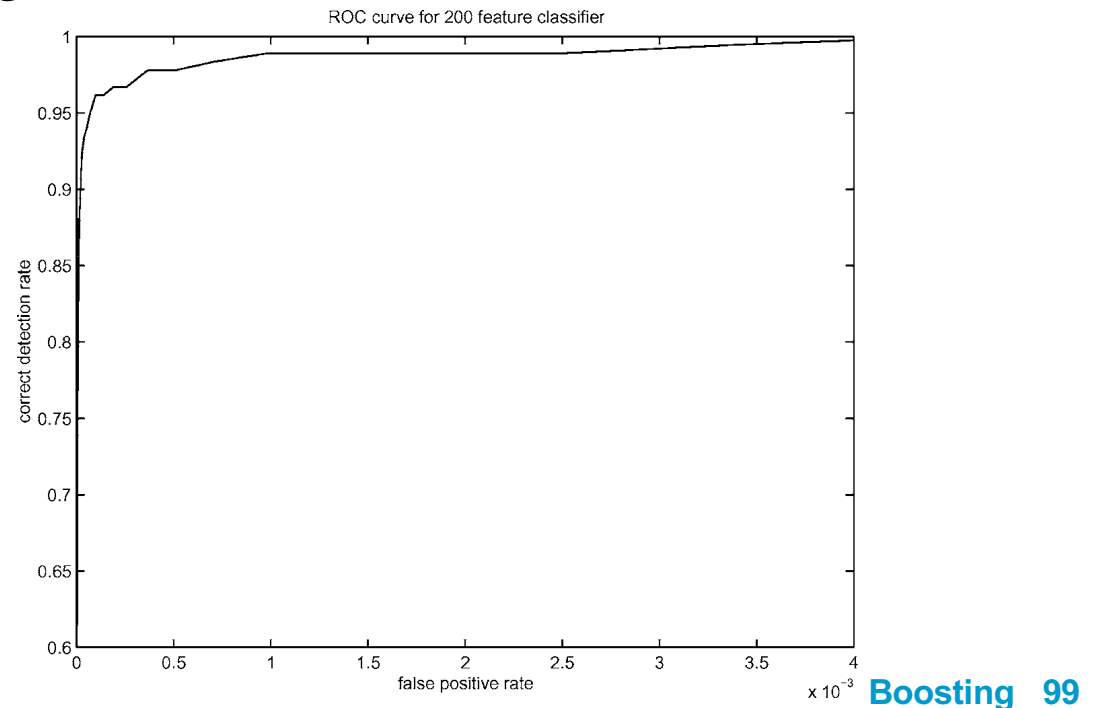


# Sélection des descripteurs utiles

## ■ En utilisant AdaBoost

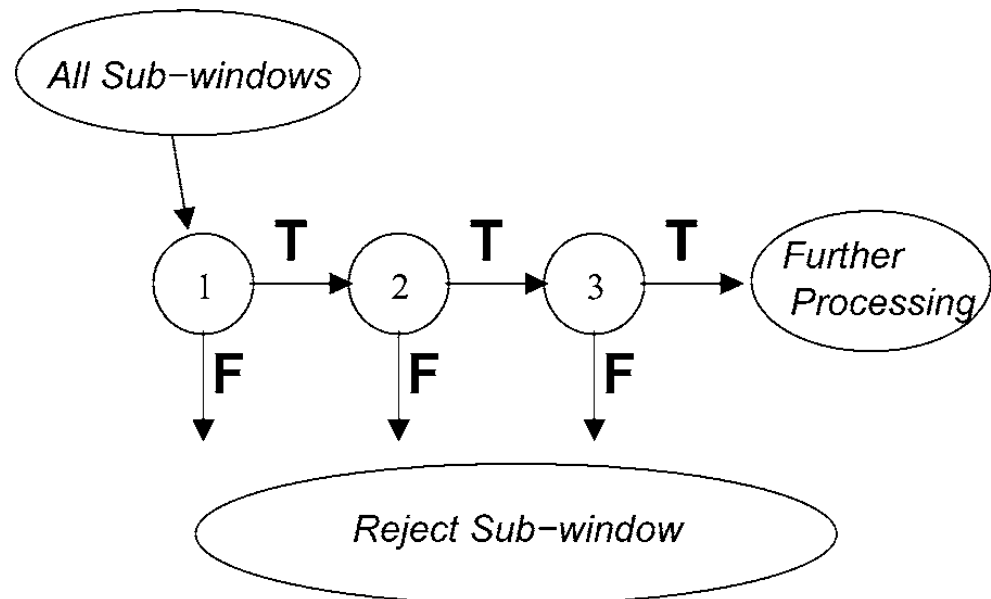
- Les descripteurs sont associés à des « decision stumps »
- Le boosting sélectionne une séquence de descripteurs
  - 200 dans cette étude

Mais trop coûteux  
en temps calcul : ~0.7s



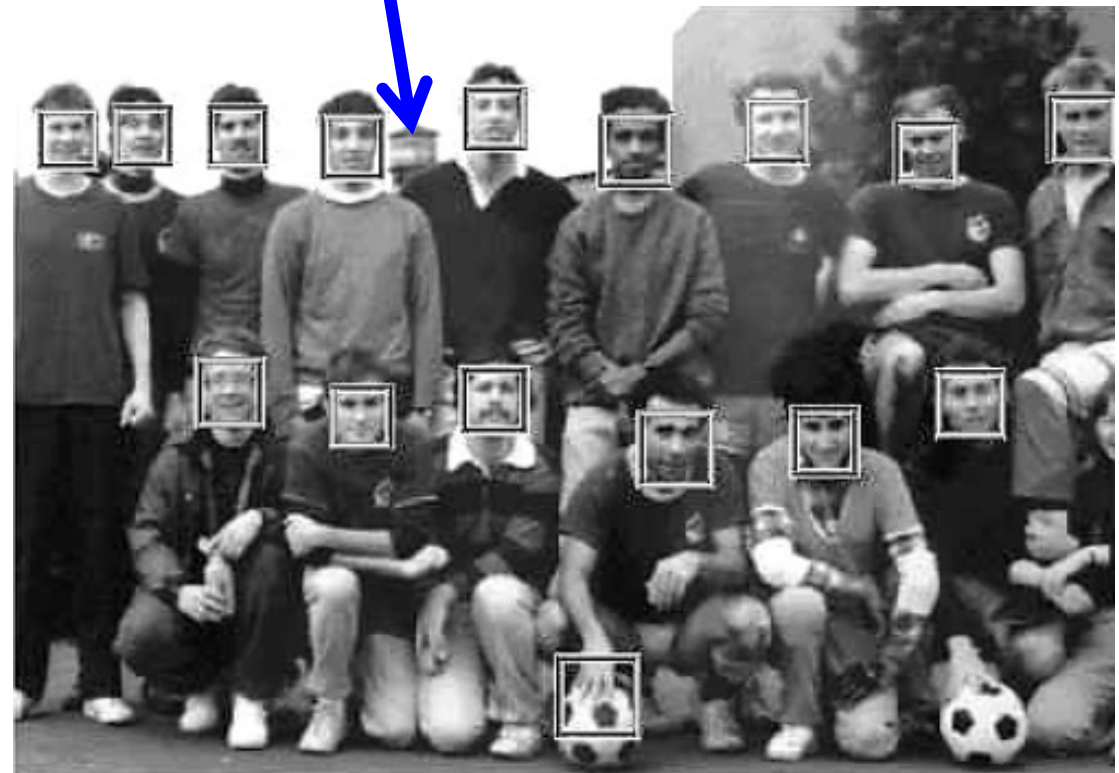
# Organisation des détecteurs en cascade

- Éliminer le plus tôt possible les négatifs



*Figure 6.* Schematic depiction of a the detection cascade. A series of classifiers are applied to every sub-window. The initial classifier eliminates a large number of negative examples with very little processing. Subsequent layers eliminate additional negatives but require additional computation. After several stages of processing the number of sub-windows have been reduced radically. Further processing can take any form such as additional stages of the cascade (as in our detection system) or an alternative detection system.

## *Face detection using boosting*



# Applications

## ■ Reconnaissance du contour du rein



## *Plan*

1. Méthodes d'ensemble
2. Le boosting
3. Le boosting : pourquoi ça marche
4. **Le bagging**
5. Les forêts aléatoires (random forests)
6. XGBoost : le boosting d'arbres
7. Vers d'autre méthodes d'ensemble ?

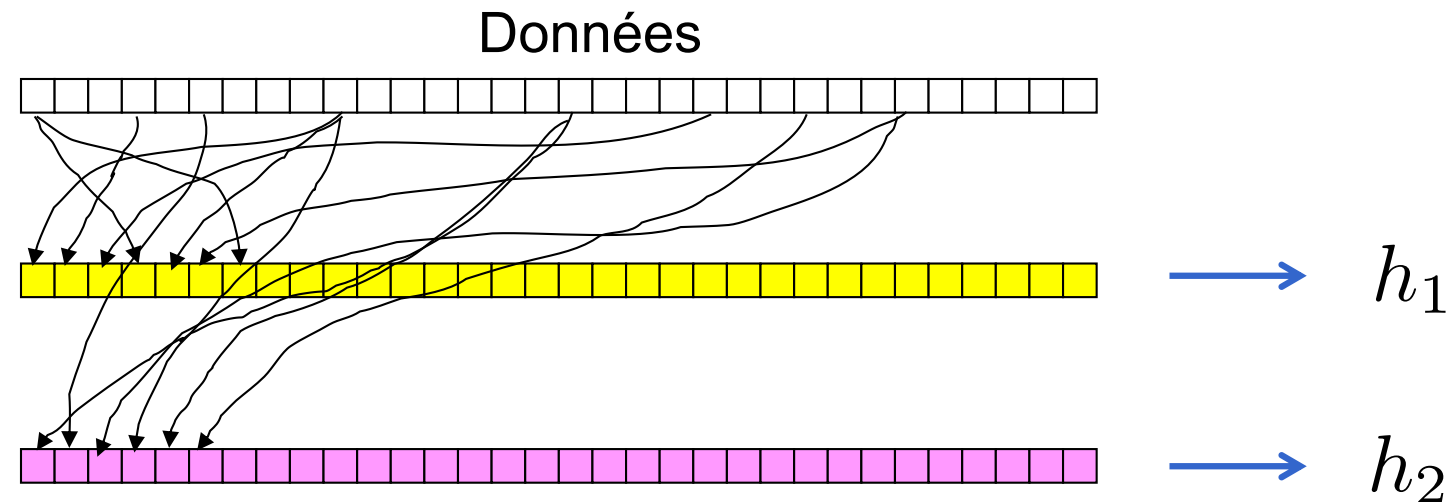
**Bagging = Bootstrapping aggregation**

## *Bagging*

[Breiman, 96]

- **Génération de  $k$  échantillons « indépendants »** par tirage avec remise dans l'échantillon  $S_m$
- **Pour chaque échantillon**, apprentissage d'un classifieur en utilisant le même algorithme d'apprentissage
- **La prédition finale** pour un nouvel exemple est obtenue par vote (simple) des classifieurs

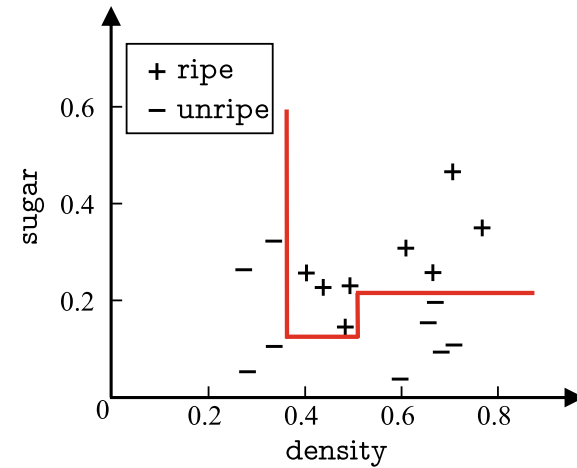
# *Le Bagging*



$$H(\mathbf{x}) = \text{sign} \left[ \sum_{t=1}^T h_t(\mathbf{x}) \right]$$

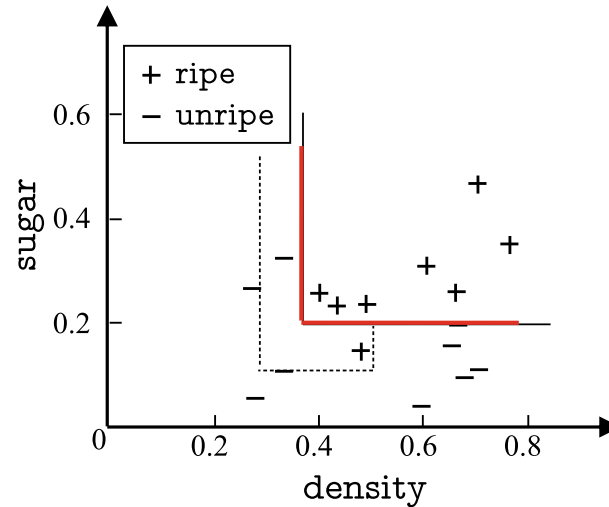
## Autre *illustration* du *bagging* sur jeu de données

ID	density	sugar	ripe
1	0.697	0.460	true
2	0.774	0.376	true
3	0.634	0.264	true
4	0.608	0.318	true
5	0.556	0.215	true
6	0.403	0.237	true
7	0.481	0.149	true
8	0.437	0.211	true
9	0.666	0.091	false
10	0.243	0.267	false
11	0.245	0.057	false
12	0.343	0.099	false
13	0.639	0.161	false
14	0.657	0.198	false
15	0.360	0.370	false
16	0.593	0.042	false
17	0.719	0.103	false

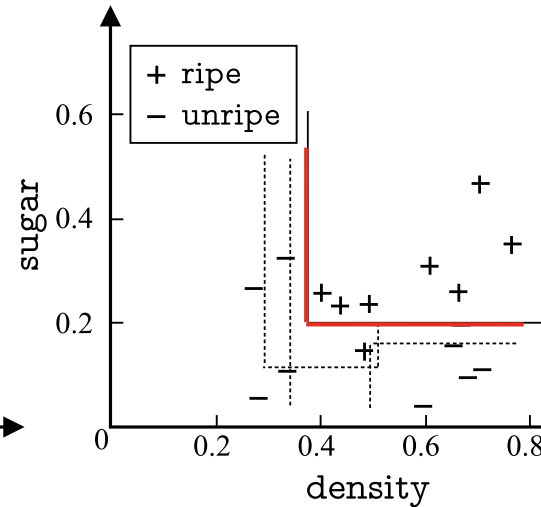


Apprentissage par  
arbre de décisions

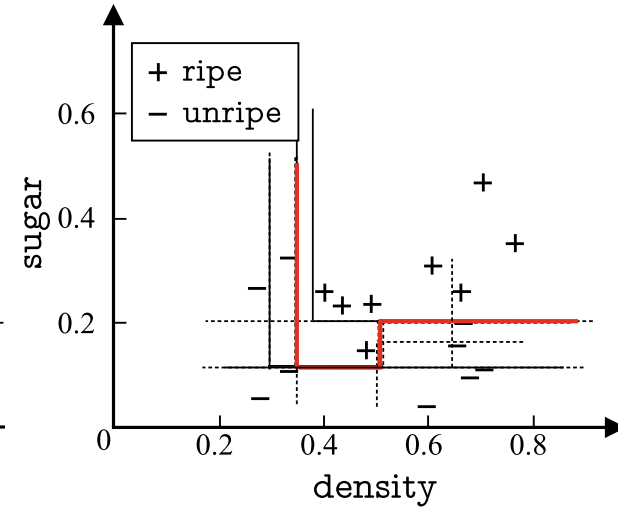
## Autre illustration du bagging sur jeu de données



(a) 3 base learners.



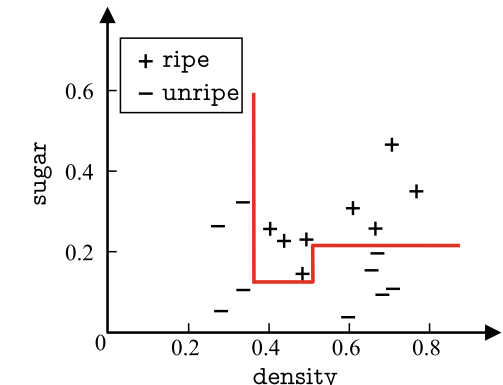
(b) 5 base learners.



(c) 11 base learners.

Here “**base learner**” = **decision stump**

Arbre de décisions



From [Zhi-Hua ZHOU « Machine Learning ». Springer, 2021]

## *Bagging (suite)*

- Il est souvent dit que :
  - Le bagging fonctionne en réduisant la variance en laissant le biais inchangé
- Mais, encore incomplètement compris
  - Voir [Yves Grandvalet : « Bagging equalizes influence », *Machine Learning* , 55(3), pages 251-270, 2004.]

## *Plan*

1. Méthodes d'ensemble
2. Le boosting
3. Le boosting : pourquoi ça marche
4. Le bagging
5. Les forêts aléatoires (random forests)
6. XGBoost : le boosting d'arbres
7. Vers d'autre méthodes d'ensemble ?

# Les forêts aléatoires *(Random forests)*

# *Du bagging aux forêts aléatoires*

## ■ Le **bagging** est favorisé par :

- Des hypothèses faibles **differentes**
- Des hypothèses faibles de **faible biais** (e.g. arbres de décision profonds)
- On peut avoir un **nombre d'itérations élevé** sans surapprentissage (par augmentation de la marge)

Il conserve le **biais**  
en diminuant la  
**variance**

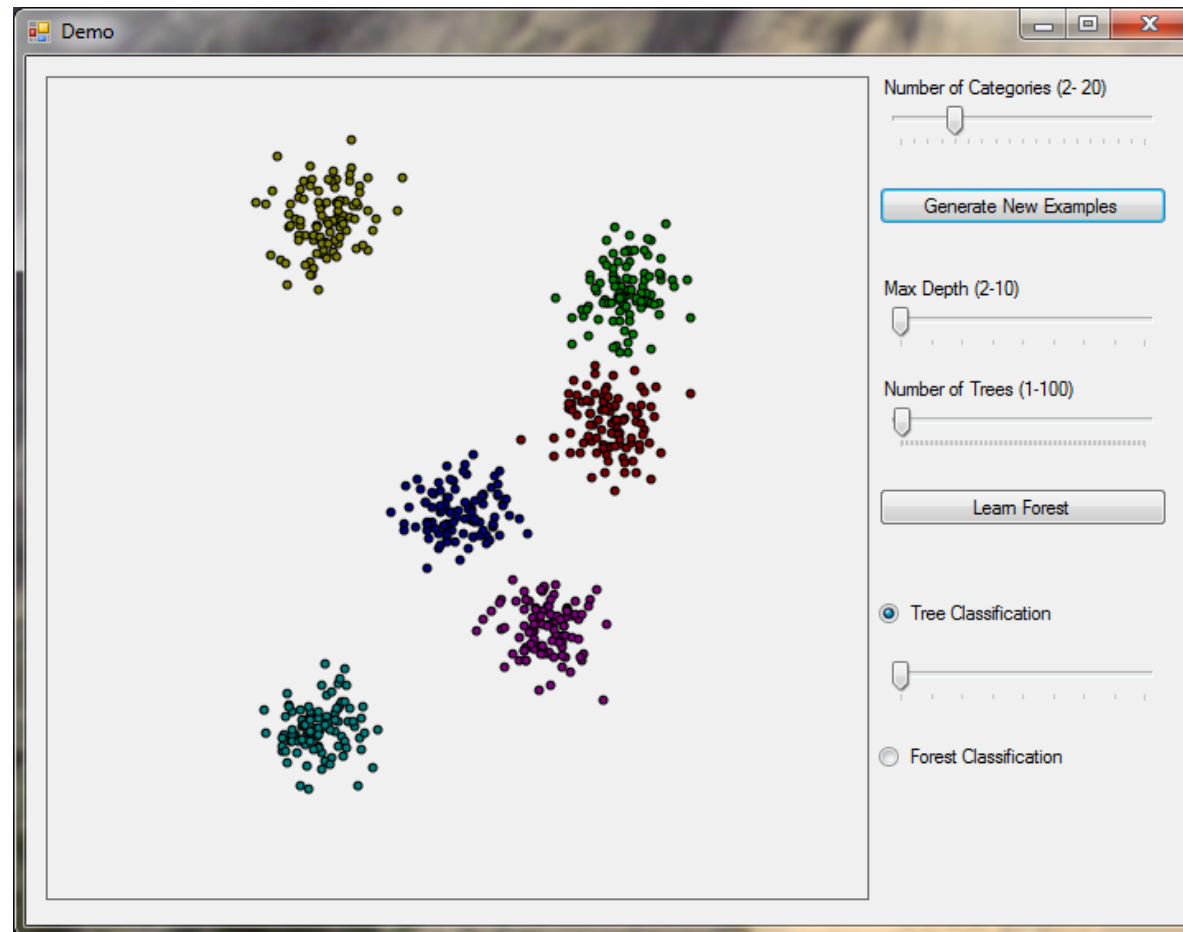
## ■ D'où les **forêts aléatoires**

- On va s'arranger pour avoir des arbres de décisions
  - Profonds
  - Différents
  - Nombreux

# *Les forêts aléatoires*

- Principe :
  - réduire la corrélation entre apprenants faibles
- Apprendre des arbres
  - Sur des jeux de données différents (comme le bagging)
  - Sur des sous-ensembles d'attributs tirés aléatoirement

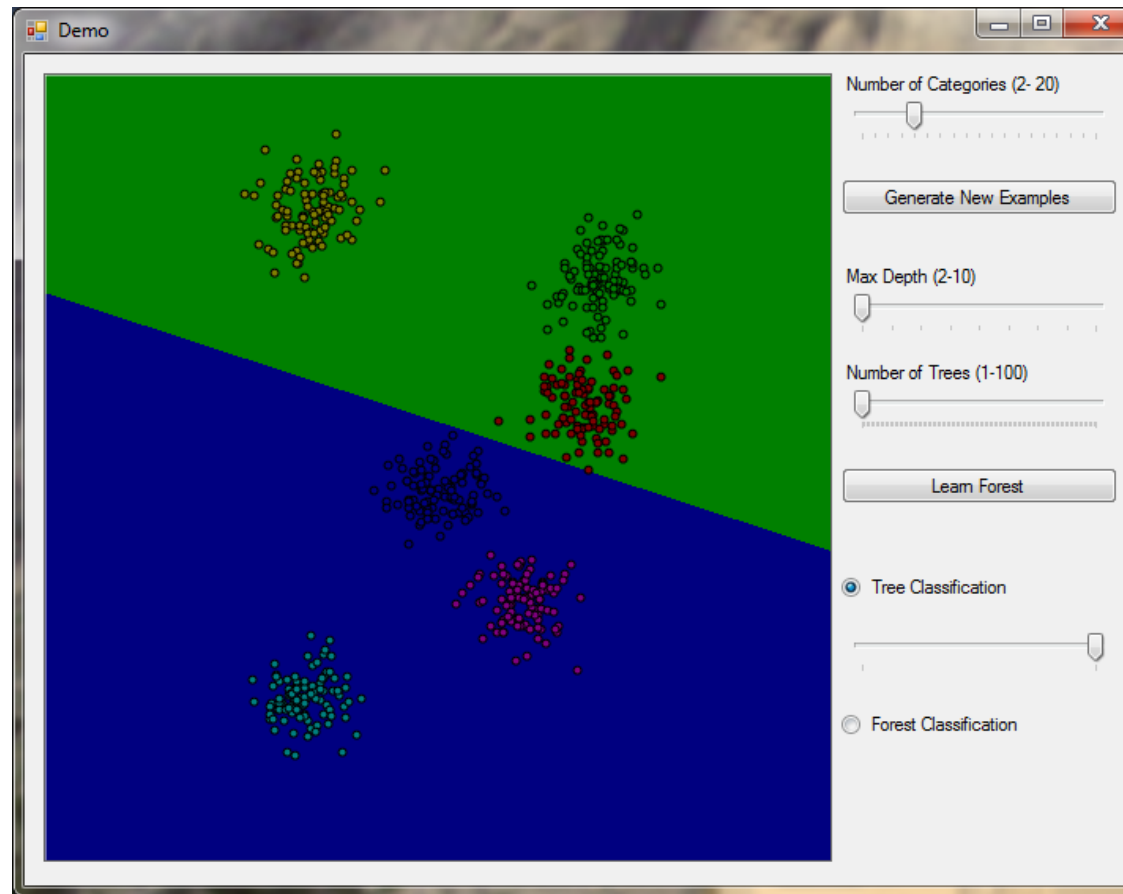
# *Toy Forest Classification Demo*



**6** classes in a **2** dimensional feature space.

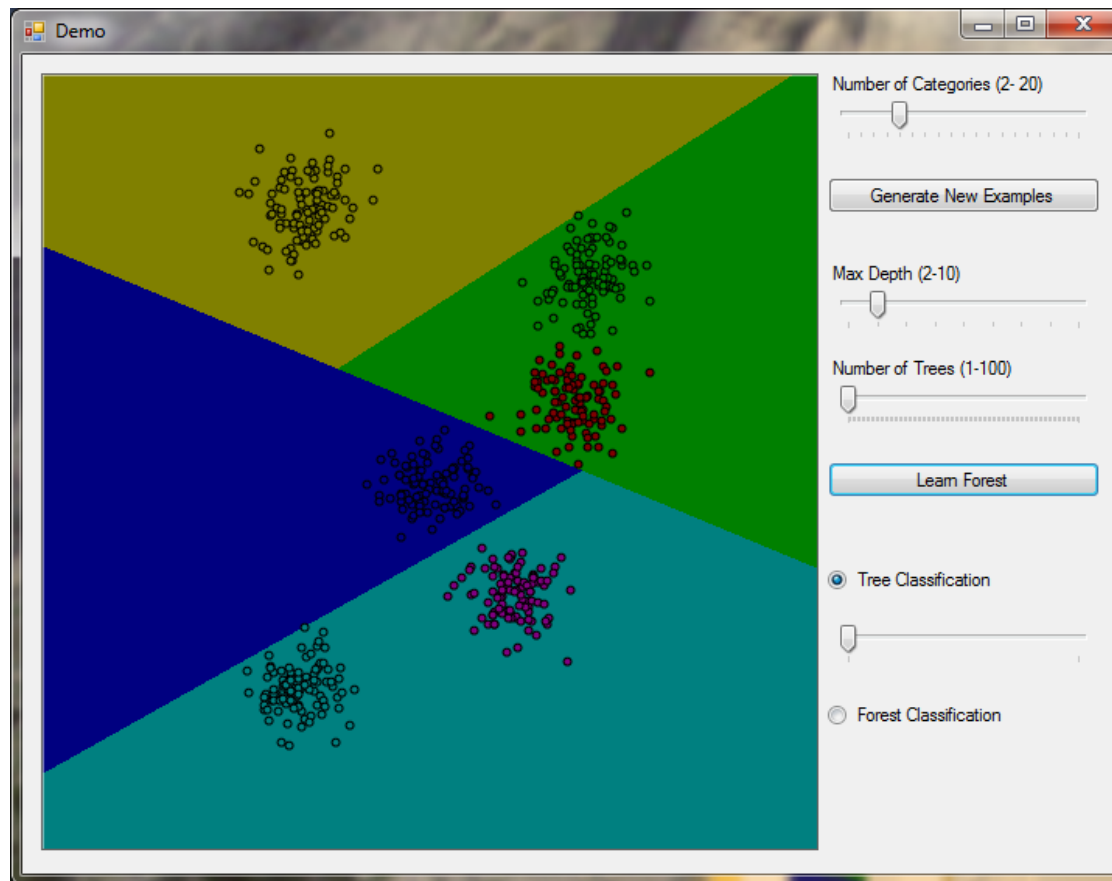
**Split functions** are lines in this space.

# *Toy Forest Classification Demo*



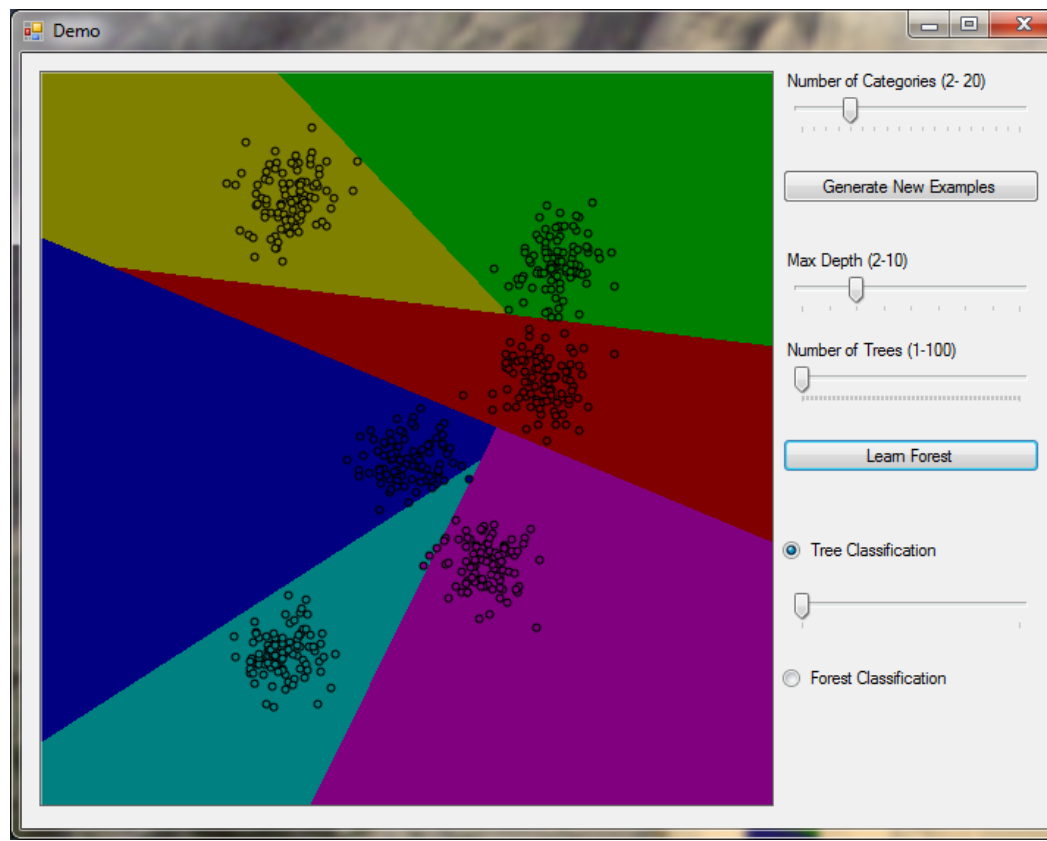
With a **depth 2** tree, you can not separate all six classes.

# *Toy Forest Classification Demo*



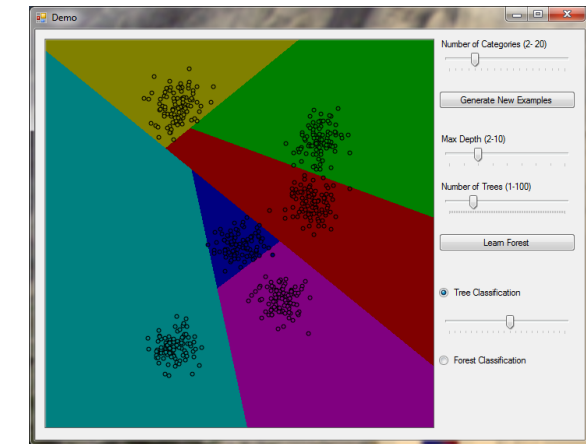
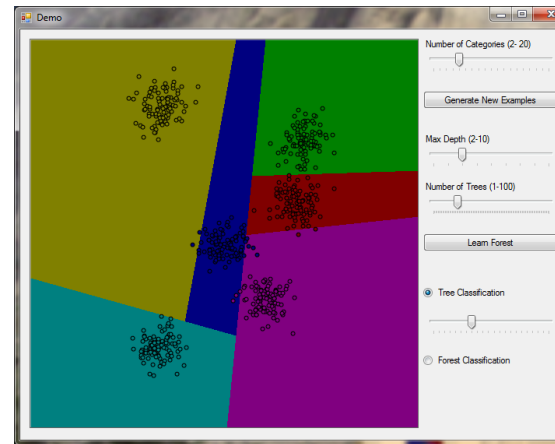
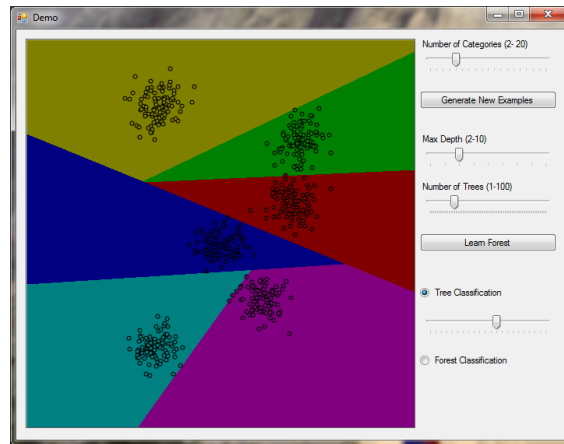
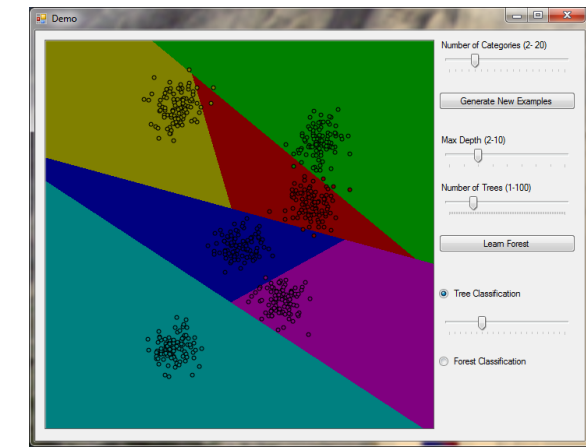
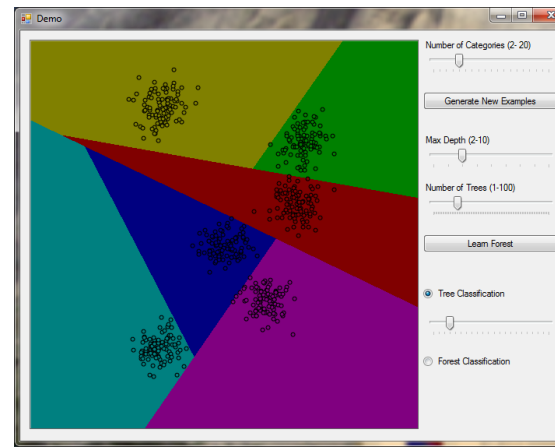
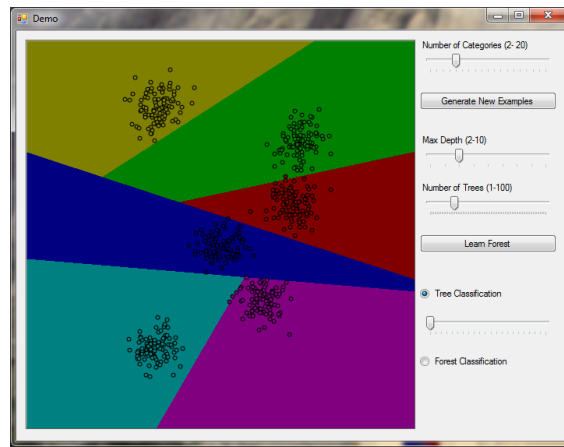
With a **depth 3** tree, you are doing better,  
but still cannot separate all six classes.

# *Toy Forest Classification Demo*



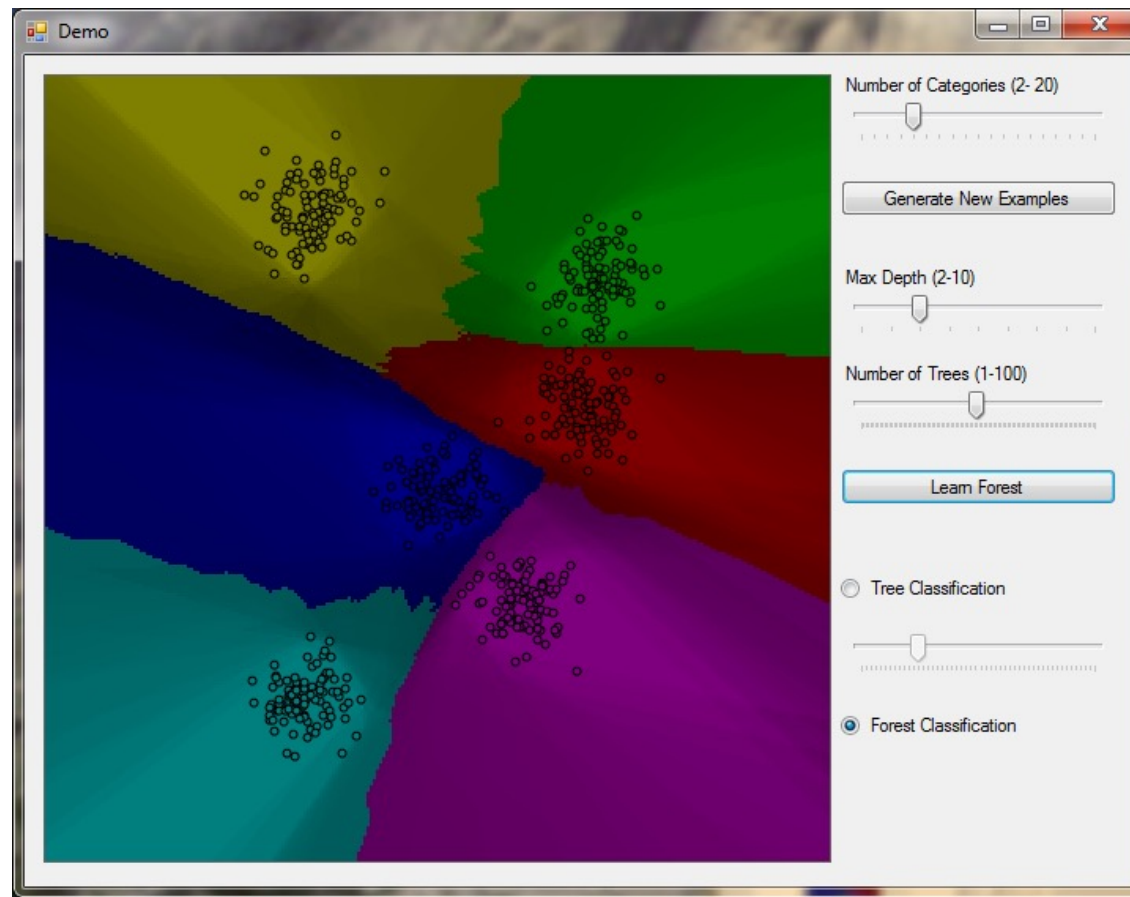
With a **depth 4** tree, you now have at least as many leaf nodes as classes, and so are able to classify most examples correctly.

# Toy Forest Classification Demo



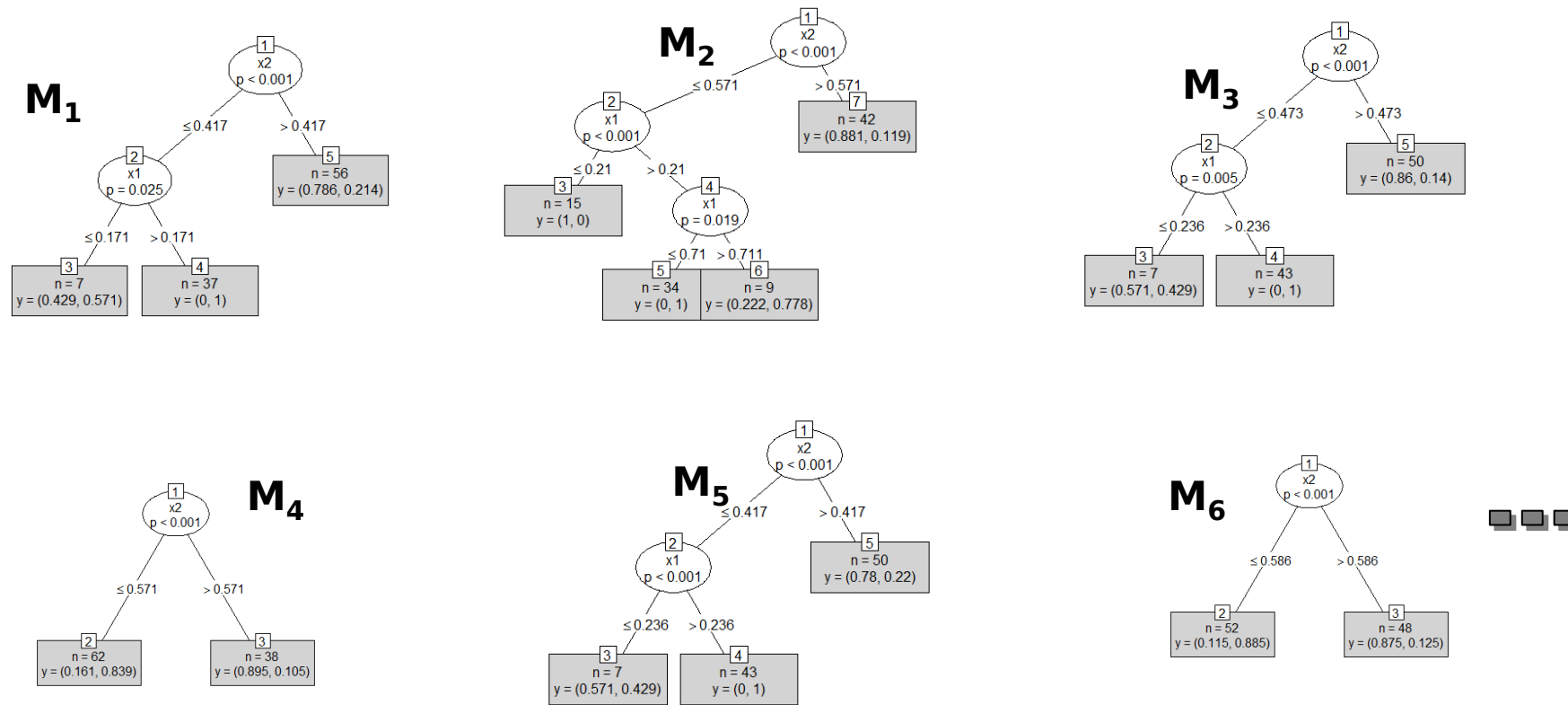
Different trees within a forest can give rise to very different decision boundaries, none of which is particularly good on its own.

# Toy Forest Classification Demo



But **averaging together many trees** in a forest can result in decision boundaries that look very sensible, and are even quite close to the max margin classifier.  
(Shading represents entropy – darker is higher entropy).

# Interprétabilité et sélection d'attributs



- Multitude d'arbres. Plus de lecture directe possible de l'importance des variables.
- On mesure la fréquence d'apparition

## *Interprétabilité et sélection d'attributs*

- On **additionne** les importances de chaque attribut dans tous les arbres
  - Le **niveau** des attributs dans l'arbre
  - Le **gain** (d'entropie ou de Gini)
- On calcule **la moyenne** (ou la médiane) des importances
- Et on retient les attributs **dépassant cette valeur seuil**
  - Ou les  **$N$**  premiers attributs

```

print(__doc__)

import numpy as np
import matplotlib.pyplot as plt

from sklearn.datasets import make_classification
from sklearn.ensemble import ExtraTreesClassifier

# Build a classification task using 3 informative features
X, y = make_classification(n_samples=1000,
                           n_features=10,
                           n_informative=3,
                           n_redundant=0,
                           n_repeated=0,
                           n_classes=2,
                           random_state=0,
                           shuffle=False)

# Build a forest and compute the impurity-based feature importances
forest = ExtraTreesClassifier(n_estimators=250,
                             random_state=0)

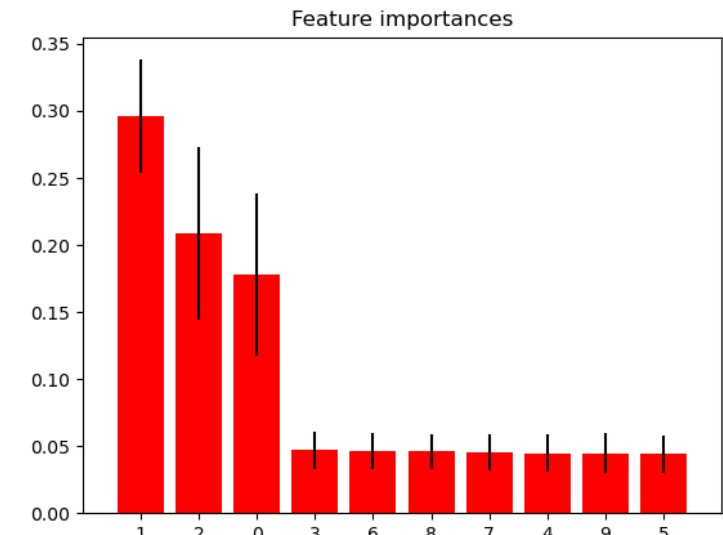
forest.fit(X, y)
importances = forest.feature_importances_
std = np.std([tree.feature_importances_ for tree in forest.estimators_],
             axis=0)
indices = np.argsort(importances)[::-1]

# Print the feature ranking
print("Feature ranking:")

for f in range(X.shape[1]):
    print("%d. feature %d (%f)" % (f + 1, indices[f], importances[indices[f]]))

# Plot the impurity-based feature importances of the forest
plt.figure()
plt.title("Feature importances")
plt.bar(range(X.shape[1]), importances[indices],
        color="r", yerr=std[indices], align="center")
plt.xticks(range(X.shape[1]), indices)
plt.xlim([-1, X.shape[1]])
plt.show()

```



Feature ranking:

1. feature 1 (0.295902)
2. feature 2 (0.208351)
3. feature 0 (0.177632)
4. feature 3 (0.047121)
5. feature 6 (0.046303)
6. feature 8 (0.046013)
7. feature 7 (0.045575)
8. feature 4 (0.044614)
9. feature 9 (0.044577)
10. feature 5 (0.043912)

## *Bilan sur les forêts aléatoires*

- Souvent puissant
- Mais
  - Perte d'interprétabilité
  - Et plus coûteux en temps calcul

## *Plan*

1. Méthodes d'ensemble
2. Le boosting
3. Le boosting : pourquoi ça marche
4. Le bagging
5. Les forêts aléatoires (random forests)
6. XGBoost : le boosting d'arbres
7. Vers d'autre méthodes d'ensemble ?

# Autres algorithmes *(Xgboost ou Tree Boosting)*

# *Xgboost aka. eXtreme gradient boosting*

## ■ Références:

- Boosting applied to decision trees with regularization terms [Friedman]
- <http://xgboost.readthedocs.io/en/latest/model.html>

## *Plan*

1. Méthodes d'ensemble
2. Le boosting
3. Le boosting : pourquoi ça marche
4. Le bagging
5. Les forêts aléatoires (random forests)
6. XGBoost : le boosting d'arbres
7. Vers d'autre méthodes d'ensemble ?

## *Le stacking*

- On apprend  $T$  **hypothèses de base** sur un jeu de données
- On génère un **deuxième jeu** de données indépendant
- Les **sorties** des  $T$  hypothèses sont utilisés comme des **descripteurs** des données
- Un **méta algorithme** apprend à classer les exemples basé sur ces descripteurs

# Le stacking : l'algorithme

---

**Input:** Training set  $D = \{(\mathbf{x}_1, y_1), (\mathbf{x}_2, y_2), \dots, (\mathbf{x}_m, y_m)\}$ ;  
First-level learning algorithms  $\mathcal{L}_1, \mathcal{L}_2, \dots, \mathcal{L}_T$ ;  
Second-level learning algorithm  $\mathcal{L}$ .

**Process:**

```
1: for  $t = 1, 2, \dots, T$  do
2:    $h_t = \mathcal{L}_t(D)$ ;
3: end for
4:  $D' = \emptyset$ ;
5: for  $i = 1, 2, \dots, m$  do
6:   for  $t = 1, 2, \dots, T$  do
7:      $z_{it} = h_t(\mathbf{x}_i)$ ;
8:   end for
9:    $D' = D' \cup ((z_{i1}, z_{i2}, \dots, z_{iT}), y_i)$ ;
10: end for
11:  $h' = \mathcal{L}(D')$ .
```

**Output:**  $H(\mathbf{x}) = h'(h_1(\mathbf{x}), h_2(\mathbf{x}), \dots, h_T(\mathbf{x}))$ .

---

Generate first-level learner  $h_t$  using first-level learning algorithm  $\mathcal{L}_t$ .  
Generate second-level training set.

Generate second-level learner  $h'$  using second-level learning algorithm on  $D'$ .

...

# Error Correcting Output Codes (ECOC)

# ECOC

- Apprendre à distinguer **10 classes**
- Codage
  - Sur 4 bits ?
  - **Sur 15 bits !**

Class	Code Word														
	$f_0$	$f_1$	$f_2$	$f_3$	$f_4$	$f_5$	$f_6$	$f_7$	$f_8$	$f_9$	$f_{10}$	$f_{11}$	$f_{12}$	$f_{13}$	$f_{14}$
0	1	1	0	0	0	0	1	0	1	0	0	1	1	0	1
1	0	0	1	1	1	1	0	1	0	1	1	0	0	1	0
2	1	0	0	1	0	0	0	1	1	1	1	0	1	0	1
3	0	0	1	1	0	1	1	1	0	0	0	0	1	0	1
4	1	1	1	0	1	0	1	1	0	0	1	0	0	0	1
5	0	1	0	0	1	1	0	1	1	1	0	0	0	0	1
6	1	0	1	1	1	0	0	0	0	1	0	1	0	0	1
7	0	0	0	1	1	1	1	0	1	0	1	1	0	0	1
8	1	1	0	1	0	1	1	0	0	1	0	0	0	1	1
9	0	1	1	1	0	0	0	0	1	0	1	0	0	1	1

7 bits d'écart au moins entre les codages des classes ici

Boosting 131

# ECOC

- On apprend 15 classifieurs binaires

$$h_0(\mathbf{x}) = \begin{cases} 0 & \text{si } y \in \{1, 3, 5, 7, 9\} \\ 1 & \text{si } y \in \{0, 2, 4, 6, 8\} \end{cases}$$

$$h_1(\mathbf{x}) = \begin{cases} 0 & \text{si } y \in \{1, 2, 3, 6, 7\} \\ 1 & \text{si } y \in \{0, 4, 5, 8, 9\} \end{cases}$$

•  
•  
•

- Pour un nouvel  $\mathbf{x}$ , on calcule  $h_1(\mathbf{x}), h_2(\mathbf{x}), h_3(\mathbf{x}), h_4(\mathbf{x}), h_5(\mathbf{x}), h_6(\mathbf{x}), h_7(\mathbf{x}), h_8(\mathbf{x}), h_9(\mathbf{x}), h_{10}(\mathbf{x}), h_{11}(\mathbf{x}), h_{12}(\mathbf{x}), h_{13}(\mathbf{x}), h_{14}(\mathbf{x}), h_{15}(\mathbf{x})$
- On décode  $H(\mathbf{x})$  par plus proche voisin / au codage des 10 classes  
(e.g. 0 devrait être codé 1, 1, 0, 0, 0, 0, 1, 0, 1, 0, 0, 1, 1, 0, 1 par les 15 hypothèses apprises)

*ECOC = une méthode d'ensemble !!*

- On a transformé un problème de classification à 10 classes en 15 problèmes de classification binaire

Marche bien !

Dietterich, T. G., & Bakiri, G. (1994). Solving multiclass learning problems via error-correcting output codes. *Journal of artificial intelligence research*, 2, 263-286.

Des méthodes d'ensemble  
*en apprentissage non supervisé ?*

# *Quels ingrédients ?*

- 1.** Comment **sélectionner** des « experts » ?
  - Qu'est-ce qu'un **expert** ?
  - Qu'est-ce qu'un **bon panel** d'experts ?
- 2.** Comment leur attribuer un **poids** (éventuellement) ?
- 3.** Comment **combiner** leur avis ?

# Références

# Références bibliographiques

- Bob Shapire and Yoav Freund  
*Boosting: Foundations and Algorithms*  
MIT Press, 2012
- Ron Meir and Gunnar Rätsch  
*An introduction to Boosting and Leveraging*  
In *Advanced Lectures on Machine Learning* (LNNAI-2600), 2003  
<http://www.boosting.org/papers/MeiRae03.pdf>
- Zhi-Hua Zhou  
*Ensemble Methods. Foundations and Algorithms*  
CRC Press, 2012
- Vincent Barra, Antoine Cornuéjols & Laurent Miclet  
*Apprentissage artificiel. Concepts et algorithmes. De Bayes et Hume au deep learning*  
Eyrolles, 2021
- A. Cornuéjols, Y. Bennani, P. Gançarski and C. Wemmert (2018) “*Collaborative Clustering: Why, When, What and How*”, *Information Fusion* (An International Journal on Multi-Sensor, Multi-Source Information Fusion), vol. 39, pp. 81-95.